

## 5. Atomkerne

**Prof. David Hunger** 

Physikalisches Institut, KIT Fakultät für Physik



## Übersicht

#### Literatur: Demtröder Experimentalphysik 4



#### Aufbau der Atomkerne

- Ladung, Masse
- Kernradius
- Bindungsenergie und Massendefekt

### Fundamentale Eigenschaften stabiler Kerne und Kernmodelle

- Tröpfchenmodell
- Kernspins und Kernmomente

#### Kernkräfte, Kernzerfälle

- Deuteron, Kernkraft als Austauschkraft
- Kernzerfall, α-, β-, γ-Zerfall
- Kernspaltung, Kernreaktionen

## Was ist Kernphysik?

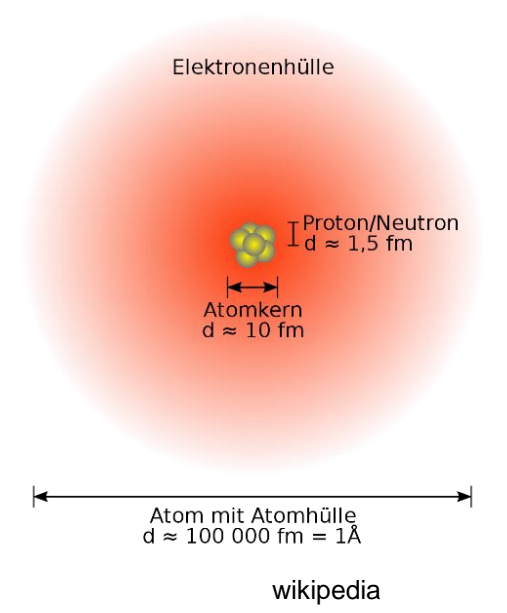


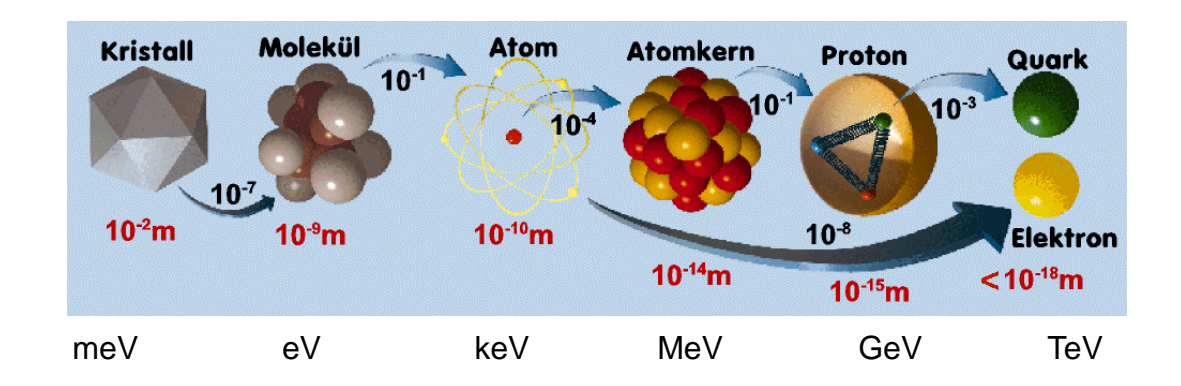
Atomhülle: beschrieben durch

- Quantenmechanik
- Elektromagnetismus

Atomkerne: zwei neue Arten von Kräften

- Starke Wechselwirkung
- Schwache Wechselwirkung





Energie

# Ladung, Größe und Masse der Kerne



### Kernladungszahl Z

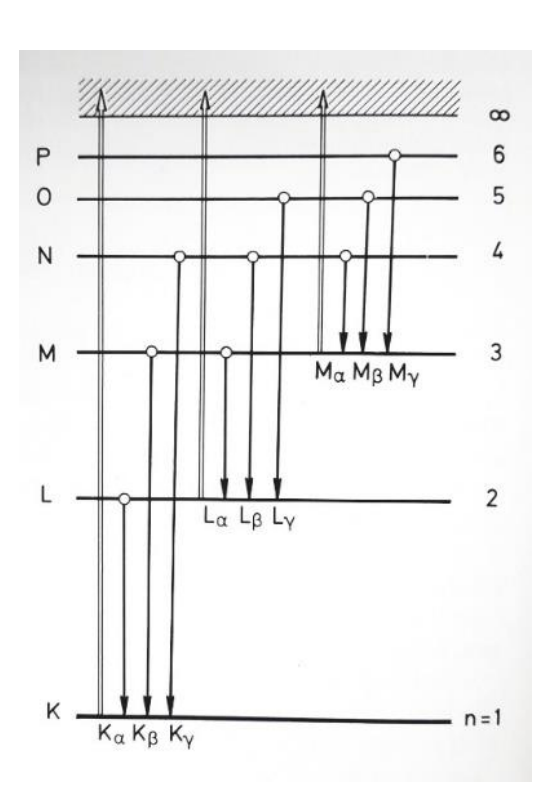
Z = Anzahl Protonen im Kern

### Röntgen Spektren

Frequenzen der  $K_{\alpha}$ -Linien

$$\nu = Ry(Z - S)^2 \left(\frac{1}{n_1^2} - \frac{1}{n_2^2}\right)$$

Abschirmfaktor S, für Übergänge in  $n_1 = 1$  ist  $S \approx 1$ 



# Kerngröße



### Streuexperimente

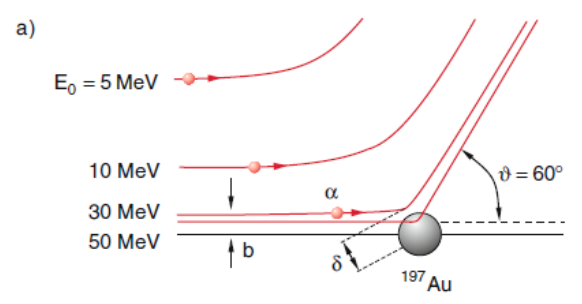
Bei zentralem Stoß ist

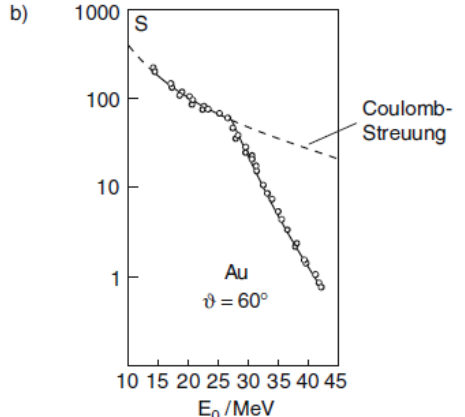
$$E_{kin} = E_{pot}$$

$$\frac{m}{2}v_0^2 = \frac{Z_1Z_2e^2}{4\pi\epsilon_0\delta_0}$$

- lacktriangle mit  $\delta_0$  der minimale Abstand
- für nicht zentralen Stoß mit Stoßparameter b wird minimaler Abstand  $\delta = \frac{\delta_0}{2} \left( 1 + \frac{1}{\sin \frac{\vartheta}{2}} \right)$
- Abweichung von Coulomb Streuung lässt auf Kerngröße und Kernkräfte schließen

$$R_K \approx r_0~A^{1/3}$$
  $r_0 = 1.3 \times 10^{-15} \mathrm{m};~10^{-15} \mathrm{m} = 1~\mathrm{Fermi}$  Nukleonenzahl  $A$ 





fester Streuwinkel, variable Energie Abweichung oberhalb kritischer Energie  $\delta(E) \leq R_K$ 

### Kernmasse

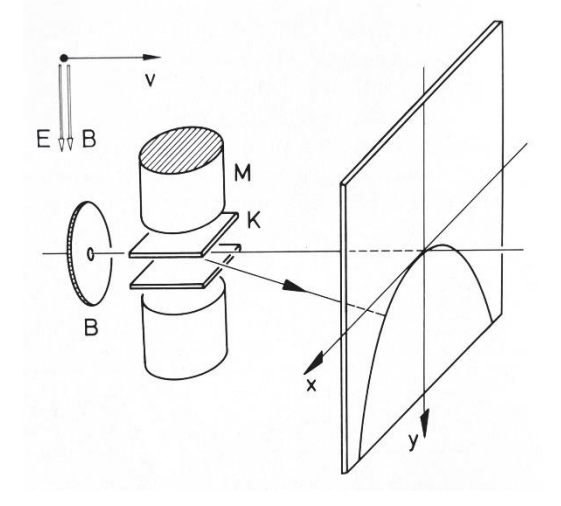
### Bestimmung mit Massenspektrometer

- Bestimme e/m durch Ablenkung von ionisierten Atomen in elektrischen und magnetischen Feldern
- Methode von Thomson: Paralleles E und B Feld
- Erhalte Parabel für Teilchen fester Masse und Ladung aber variabler Geschwindigkeit v
- **x**-Ablenkung durch mag. Feld  $\propto 1/p = 1/mv$

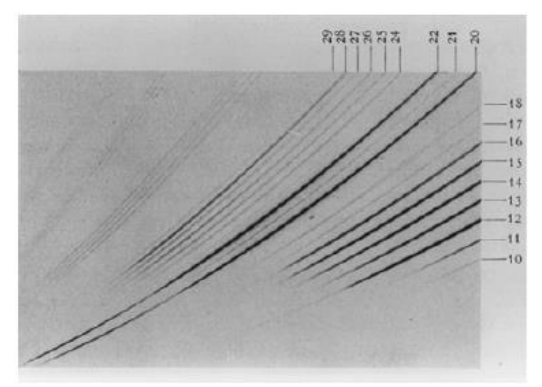
$$y = \frac{2E}{l^2 B^2} \frac{m}{e} x^2$$

- Isotope: Selbe Ladungszahl, versch. Massezahl
- Intensität der Linien zeigt Isotopenhäufigkeit
- Atomare Masseneinheit

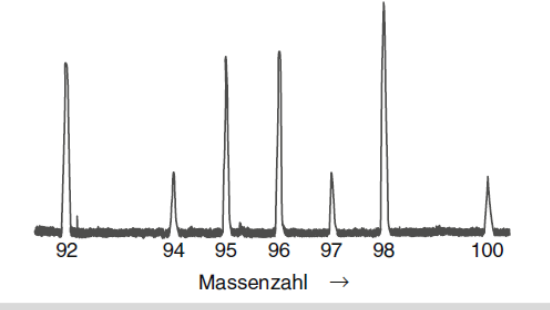
$$1 AMU = \frac{1}{12} M({}^{12}C) = 1.66 \times 10^{-27} kg$$



Massenspektrum von Neon



Massenspektrum von Molybdän



## Ladungsverteilung

Bestrahlung mit schnellen Elektronen ermöglicht genaue Bestimmung von  $\rho_e(r)$ 

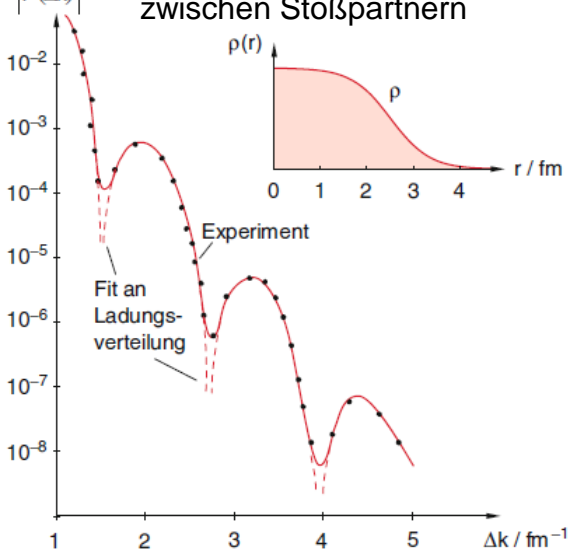
$$\frac{d\sigma}{d\Omega} = \left(\frac{d\sigma}{d\Omega}\right)_{Punkt} F^2(q^2)$$

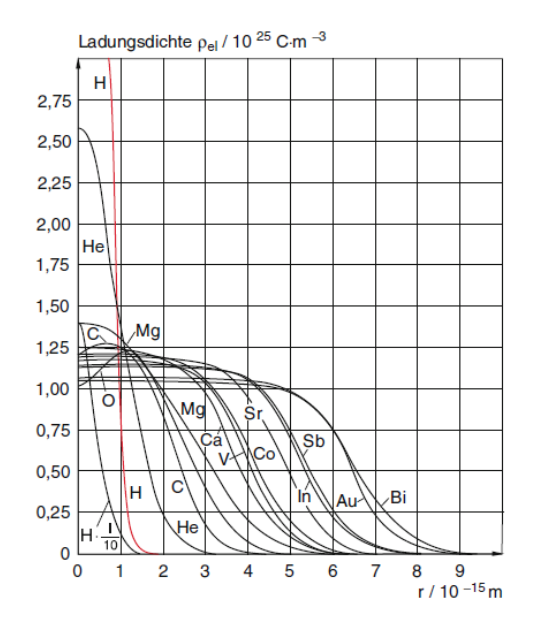
mit Formfaktor

$$F^{2}(q^{2}) = \left| \int_{V} \rho_{e}(r) e^{\frac{i}{\hbar} \Delta k \cdot r} d^{3}r \right|^{2}$$

- Fourier Transformierte der Ladungsverteilung, folgt aus Betrachtung der Streuung im Wellenbild
- $q^2 = (p p')^2 = (\hbar \Delta k)^2$  Impulsübertrag
- $F^2(q^2)$  beschreibt Unterschied von Streuung an punktförmiger Ladung (= Coulomb Potential) vs Streuung an Ladungsverteilung
- Näherungsweise konstante Ladungsdichte im Inneren, diffuser Rand
- Randdicke ist für schwere Kerne ~ 2.4fm
- i.A. nicht kugelsymmetrisch
- Ladungsverteilung weicht von Massenverteilung ab

Beugung führt zu Minima / Maxima, erlauben Rückschluß auf Potential zwischen Stoßpartnern





## Neutronen, Nukleonen etc.



- Rutherford1920: Kern aus Protonen und gleich schweren neutralen Teilchen
- Chadwick 1932: Entdeckung des Neutrons
- Wichtige Bezeichnungen der Kernphysik

### Nuklidbezeichnung

 ${}_{\mathbf{z}}^{\mathbf{A}}X$ 

Begriff	Erläuterung	Beispiel
Nukleonen	Protonen und Neutronen	
Nuklid	Kern $_{Z}^{A}X$ mit $A$ Nukleonen: Z Protonen und N = (A - Z) Neutronen	<sup>7</sup> <sub>3</sub> Li, <sup>238</sup> <sub>92</sub> U
Isotope	Kerne mit gleicher Protonenzahl Z,	<sup>12</sup> <sub>6</sub> C, <sup>14</sup> <sub>6</sub> C;
	aber unterschiedlicher Neutronenzahl $N$	$^{235}_{92}$ U, $^{238}_{92}$ U
Isobare	Kerne mit gleicher Massenzahl A, aber verschiedener Protonenzahl Z	<sup>14</sup> <sub>6</sub> C, <sup>14</sup> <sub>7</sub> N;
Isotone	Kerne mit gleicher Neutronenzahl $N$ ,	<sup>14</sup> <sub>6</sub> C, <sup>15</sup> <sub>7</sub> N,
	aber verschiedenenen Werten von Z	<sup>16</sup> <sub>8</sub> O
Spiegelkerne	Kerne mit vertauschten Werten von $Z$ und $N$ ; $Z_1 = N_2$ ; $N_1 = Z_2$	<sup>3</sup> <sub>1</sub> H, <sup>3</sup> <sub>2</sub> He;
		<sup>13</sup> <sub>6</sub> C, <sup>13</sup> <sub>7</sub> N
Isomere Kerne	Kerne mit gleichen Z und N in verschiedenen Energiezuständen	${}^{12}_{6}$ C ( $E_1$ ),
		${}^{12}_{6}\mathrm{C}(E_{2})$

## Kernspin



Aus der Hyperfeinstruktur kann der Kernspin ermittelt werden

$$|I| = \sqrt{I(I+1)}\hbar$$

Nernspin setzt sich zusammen aus Vektorsumme der Spins von Neutronen, Protonen (jew. I=1/2), und Bahndrehimpulsen

$$I = \sum_{i} (I_i + L_i)$$

Es gilt  $\sum_{i} L_{i} = 0$  im Grundzustand der meisten stabilen Kerne

Massezahl A	Kernart (N,Z)	Kernspin Quantenzahl	Beispiel
ungerade	ug bzw gu	I halbzahlig	$I(_1^1H) = 1/2$
gerade	99	ganzzahlig, $I = 0$ im GZ	$I(_6^{12}C) = 0$
gerade	uu	ganzzahlig, $I \ge 0$ im GZ	$I(^{14}_7N)=1$

# Kernspin

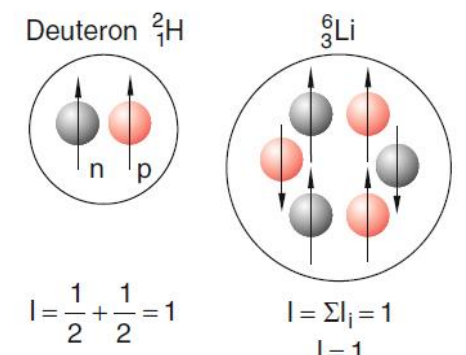


Bsp. Deuteron

$${}_{1}^{2}H$$
:  $I=\sum I_{p}+I_{n}$  ,  $I=1$ 

Bsp. Lithium

$${}_{3}^{6}Li: I = \sum I_{p} + I_{n}, I = 1$$



Magnetisches Kernmoment

$$\mu_I = g_I \, \mu_K rac{I}{\hbar}$$
 $\mu_K = rac{e}{2m_p} \, \hbar$  Kernmagneton
 $g_I$  Landé Faktor

• Messung von  $\mu_p$  aus Wasserstoff Feinstruktur oder Zeemaneffekt

## Bindungsenergie



- Anziehende Kräfte zwischen Nukleonen führen zu Bindungsenergie
- Einstein'sche Relation  $E = mc^2 \rightarrow$  negative Bindungsenergie entspricht Massendefekt

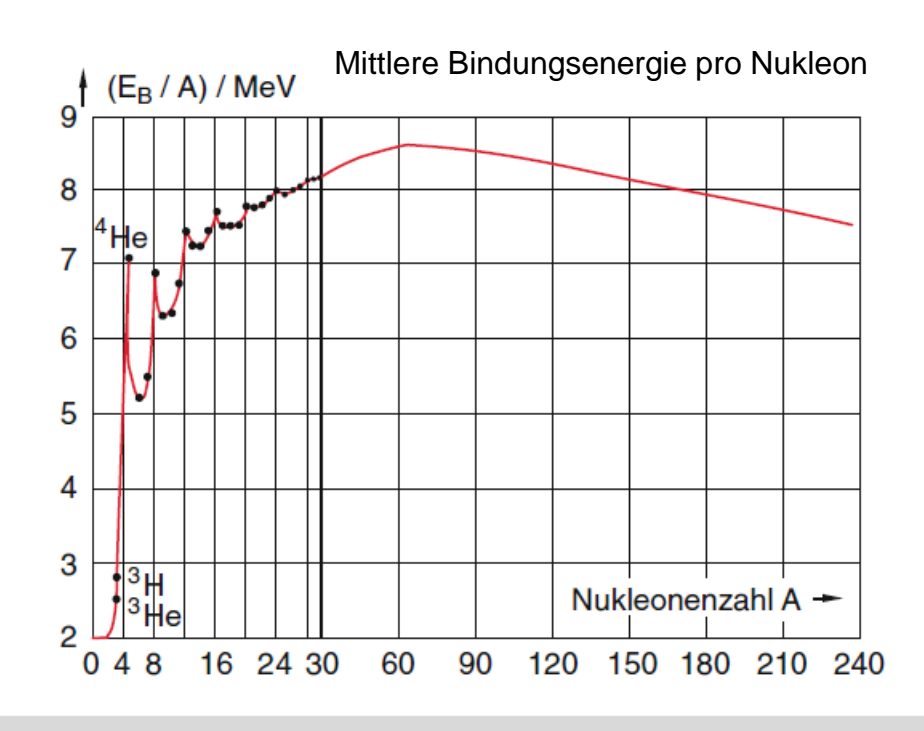
$$\Delta M = E_B/c^2$$

$$M_K = \sum m_p + \sum m_n - \Delta M$$

- Kernmasse ist kleiner als Gesamtmasse seiner freien Nukleonen
- Experimentelle Bestimmung mit Massenspektrometer
- Maximale Bindungsenergie pro Nukleon für Z=62
- Am stärksten gebundener Kern <sup>62</sup><sub>28</sub>Ni

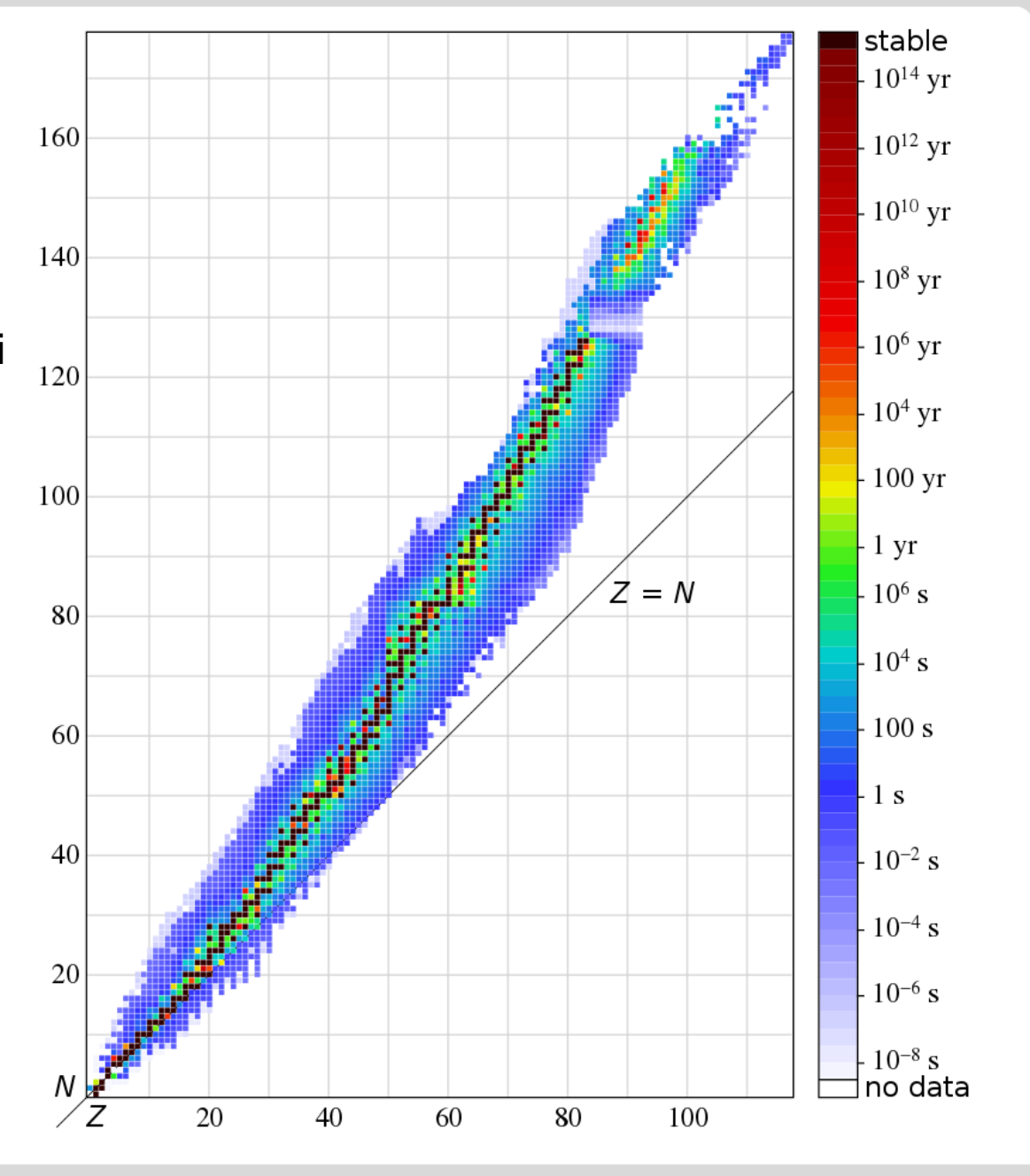
#### Energiegewinnung durch

- Verschmelzen von leichten Kernen (Kernfusion)
- Zerlegen von schweren Kernen (Kernspaltung)



## **Nuklidkarte**

- Leichte Kerne liegen auf Geraden Z = N
- Schwerere Kerne liegen bei höheren Neutronenzahlen: Neutronen reduzieren Coulomb Abstoßung der Protonen
- viele Kerne sind instabil



## Nukleonenkonfiguration

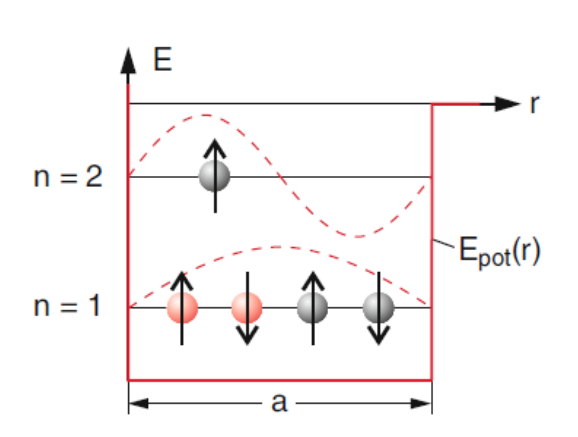


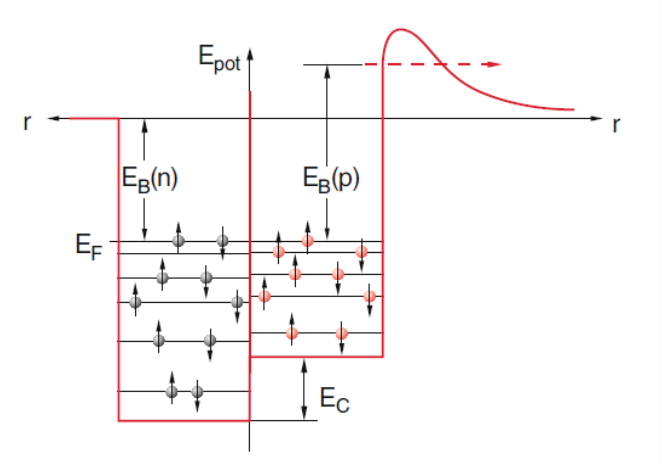
- Einfaches Modell der Kernkräfte: Kastenpotential mit Breite a
- Eigenenergien

$$E_n = \frac{\hbar^2}{2m} k_n^2 \quad \text{mit } k_n = n \frac{\pi}{a}$$

- Protonen und Neutronen haben  $s = \frac{1}{2} \rightarrow Fermionen$
- Pauli-Prinzip: Jeder Zustand kann max. von zwei Protonen und zwei Neutronen mit antiparallelem Spin besetzt werden
- Bei Protonen wirkt zusätzlich Coulomb Abstoßung

   höhere Energie als die der Neutronen
- $\blacksquare$  Zustände bis zur Fermi-Grenze  $E_F$  besetzt
- Energie zur Entfernung eines Nukleons:
- Neutron:  $E_B(n)$
- Proton:  $E_{B(p)} > E_B(n)$  wg. Coulomb Potential, effektiv etwas niedriger wg. Tunneln





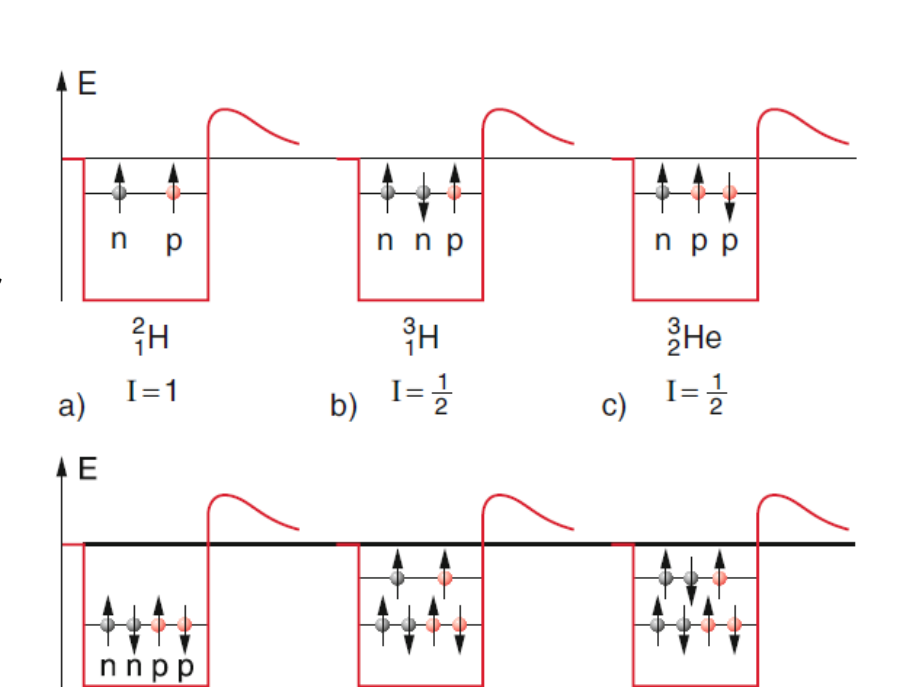
## Nukleonenaufbau nach dem Pauliprinzip



- Aufbau analog zur Elektronenhülle gemäß Pauli Prinzip
- Zusätzlich: Bindungsenergie ist größer wenn Neutron und Proton parallelen Spin haben
- Ursache: Spin-abhängige Kernkraft

#### instabile Kerne

- He plus extra Neutron <sup>5</sup><sub>2</sub>He
- He plus extra Proton  ${}_{3}^{5}Li$
- In beiden Fällen ist nächst höheres Energieniveau E>0, Kern zerfällt



$${}_{2}^{5}\text{He} \xrightarrow{\phantom{a}7,6\cdot 10^{-22}\,\text{s} \atop \phantom{a}n} \,\, {}_{2}^{4}\text{He} \,\, , \quad \, {}_{3}^{5}\text{Li} \xrightarrow{\phantom{a}3,7\cdot 10^{-24}\,\text{s} \atop \phantom{a}p} \,\, {}_{2}^{4}\text{He}$$

<sup>4</sup>He

I=0

 $I = \frac{3}{2}$ 



- Wegen homogener Dichte: Betrachte Kern als Flüssigkeitstropfen
- Nur nächste Nachbarn binden

### "Klassische" Beiträge zur Bindungsenergie

1. WW nur mit nächsten Nachbarn – Bindungsenergie pro Nukleon unabhängig von A, konstante Nukleonendichte

$$E_{B_1} = +a_V A$$

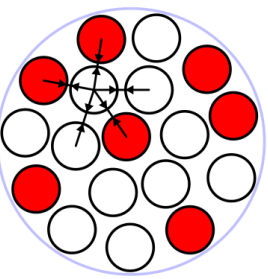
Volumenanteil

2. Nukleonen an der Oberfläche schwächer gebunden wg. fehlender Nachbarn; Oberfläche  $\propto R^2 \propto A^{2/3}$ 

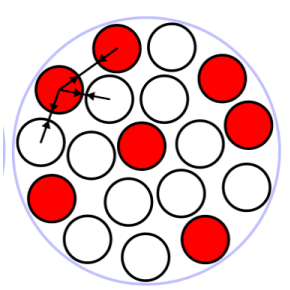
$$E_{B_2} = -a_S A^{2/3}$$

Oberflächenenergie

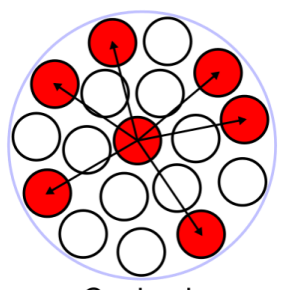
3. Coulomb Abstoßung  $E_C \sim Z^2 e^2/4\pi\epsilon_0 R$ , mit  $R=r_0\,A^{1/3}$   $E_{B_4}=-a_C\,Z^2/A^{1/3}$  Coulomb Energie



Volumen



Oberfläche

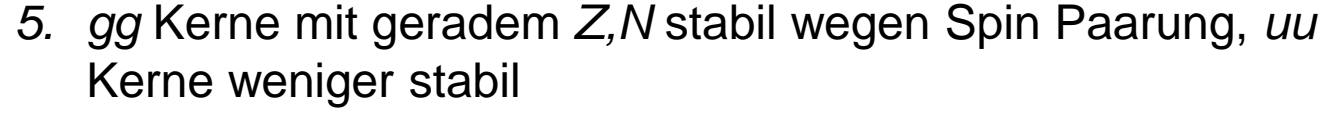


Coulomb

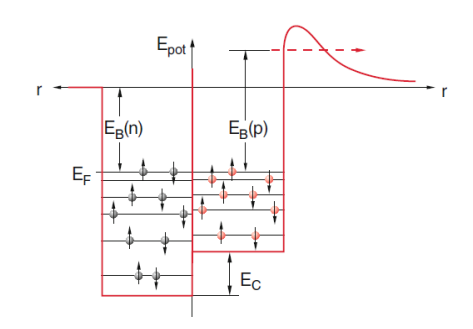
### "Quanten"-Beiträge zur Bindungsenergie

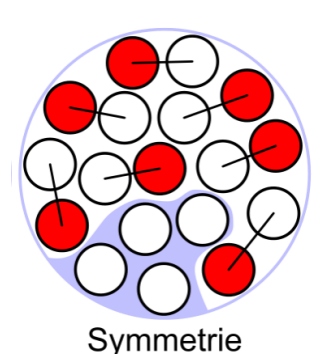
4. Pauli Prinzip: Minimale Energie für Z=N. Zusätzliche Neutronen erhöhen Fermi-Energie und damit kinetische Energie aller Nukleonen

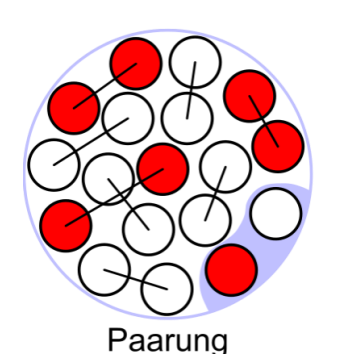
$$E_{B_3} = -a_F (Z - N)^2 / A$$
 Asymmetrie Energie



$$E_{B_5} = a_P A^{-1/2} \delta$$
 Paarungsanteil  
mit  $\delta = \{+1 \text{ (gg)}, 0 \text{ (ug,gu)}, -1 \text{ (uu) } \}$ 









#### Bethe-Weizsäcker Formel

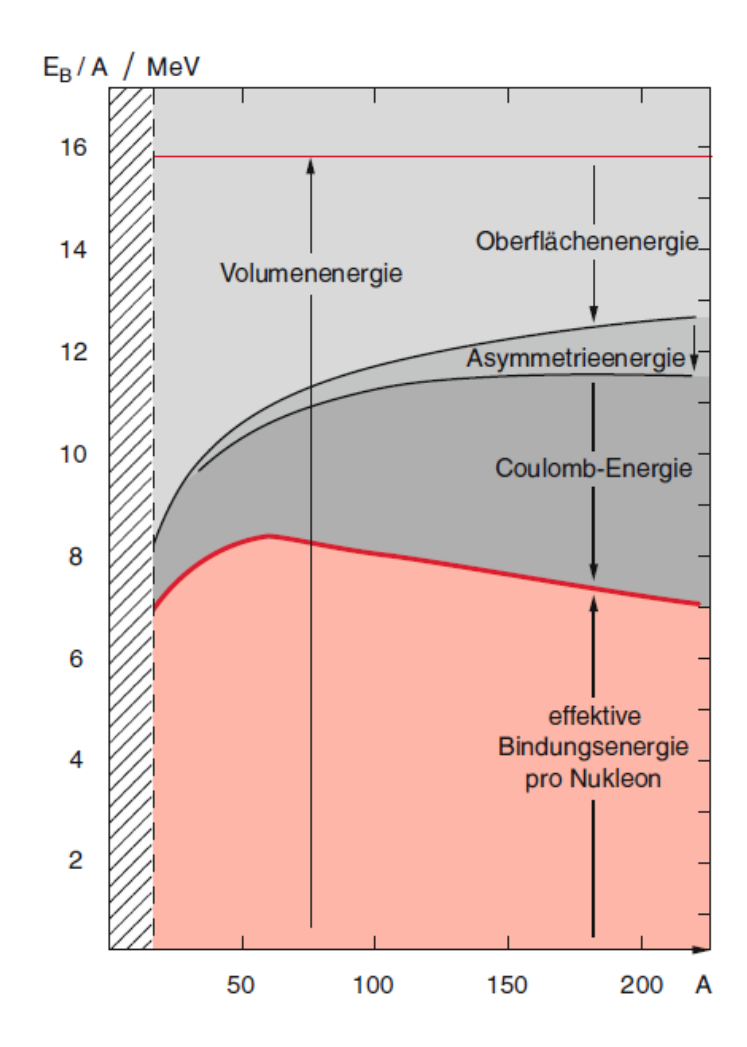
$$E_B = \Delta M c^2 = (Z m_p + N m_n - M_K)c^2$$

$$= a_V A - a_S A^{\frac{2}{3}} - a_F (N - Z)^2 A^{-1}$$

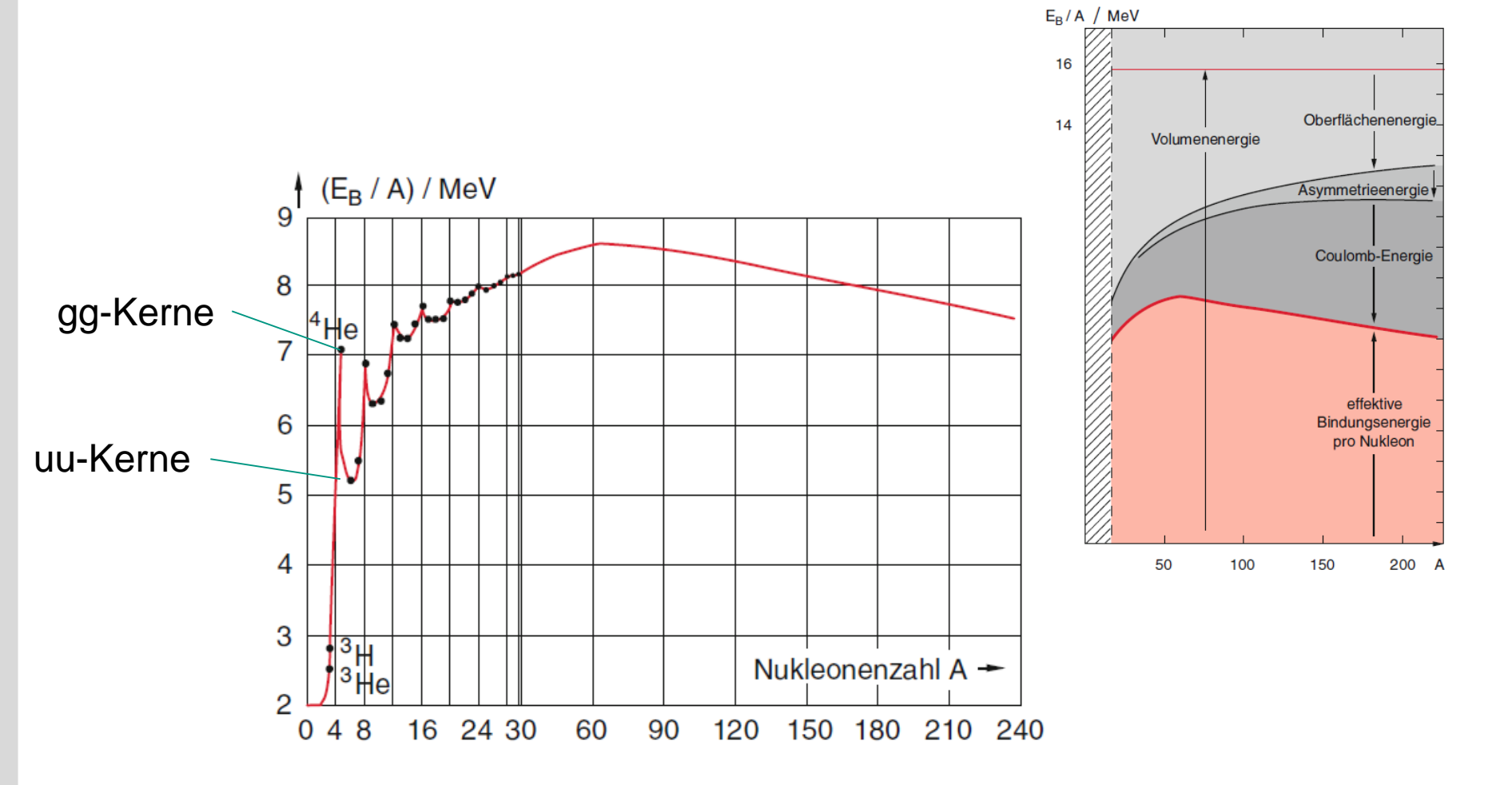
$$-a_C Z^2 A^{-\frac{1}{3}} + \delta a_P A^{-1/2}$$

$$a_{V} = 15,84 \,\text{MeV} ,$$
  
 $a_{S} = 18,33 \,\text{MeV} ,$   
 $a_{F} = 23,2 \,\text{MeV} ,$   
 $a_{C} = 0,714 \,\text{MeV} ,$ 

 $a_{\rm p}=12\,{\rm MeV}$ .







## Kernkräfte

- Anziehende Kräfte zwischen Nukleonen müssen weit stärker als Coulomb Kraft sein
- Homogene Massendichte, unabhängig von Kerngröße bedeutet kurze Reichweite der Kraft

einfachstes System zur Untersuchung von Nukleon-Nukleon Kräften:

**Deuteron** 
$${}_{1}^{2}H = D = p - n$$

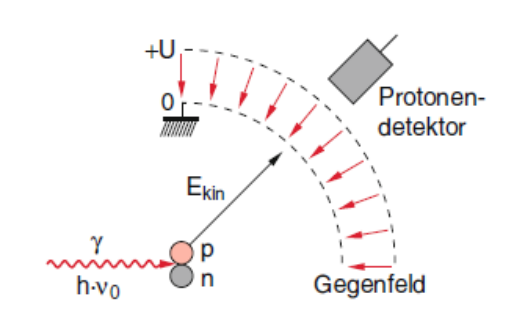
einzig stabiles 2-Nukleon System (p-p, n-n instabil)

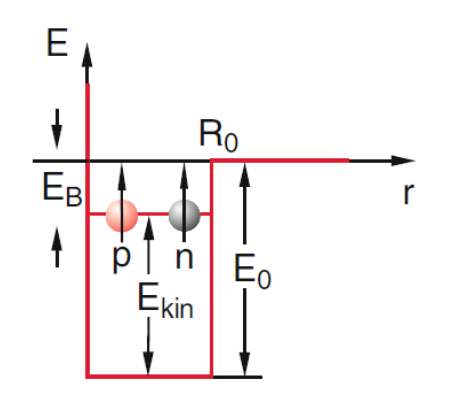
Bestimmung der Bindungsenergie

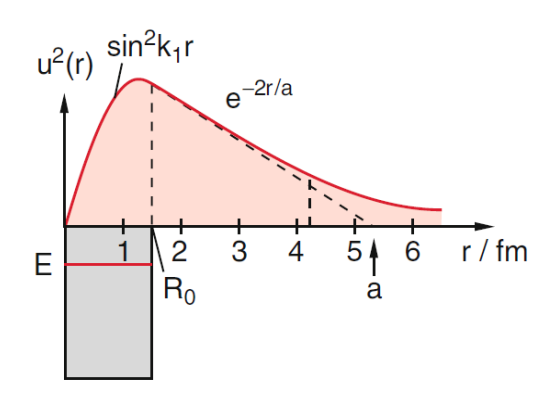
Photospaltung mit  $\gamma$  Quanten

$$_{1}^{2}H + h \nu \rightarrow n + p + E_{kin}$$

geringe Bindungsenergie  $E_B = -2.2 \text{MeV}$ 







## Meson-Austauschmodell der Kernkräfte



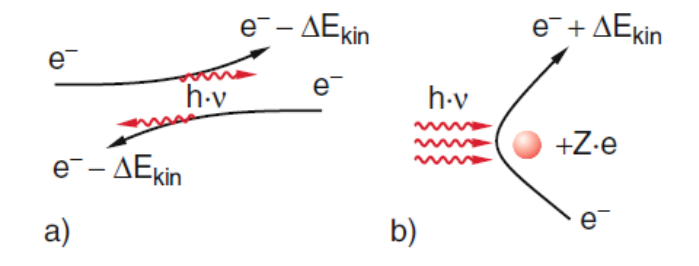
### **Coulomb Wechselwirkung im Austauschmodell**

■ Bei der Streuung zweier Elektronen wird elektromagnetische Strahlung emittiert → beschleunigte Ladungen, Bremsstrahlung

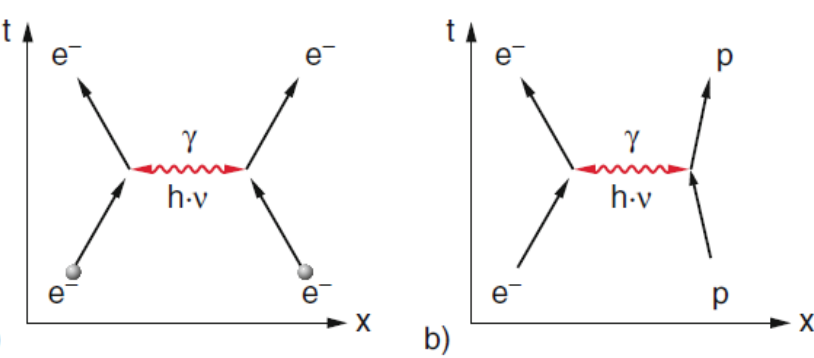
$$e^{-} + e^{-} \rightarrow e^{-} + e^{-} - \Delta E_{kin} + h\nu$$

Umgekehrter Prozess: Streuung in Laserstrahl "inverse Bremsstrahlung"

$$e^{-} + e^{-} + h\nu \rightarrow e^{-} + e^{-} + \Delta E_{kin}$$



- Allgemein: Bei der WW zwischen elektrischen Ladungen werden virtuelle Photonen hv emittiert und absorbiert
- Feynman-Diagramm



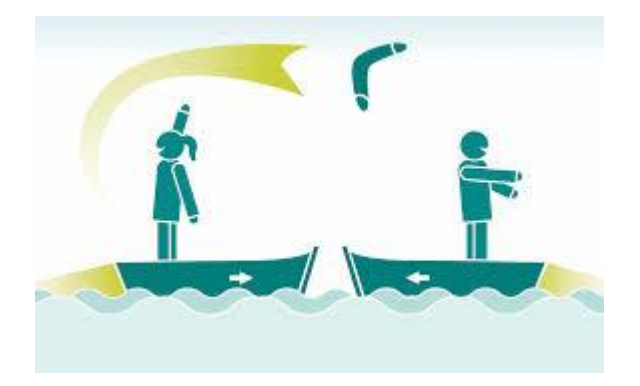
a)





### Kräfte als Austausch von einzelnen Teilchen





### Austauschkraft



- Erzeugung eines Photons erfordert Energie E = hv
- Heisenberg'sche Unschärfe

$$\Delta E \ \Delta t \geq \hbar$$

$$\to \Delta t \le \frac{\hbar}{h\nu} = \frac{1}{2\pi\nu}$$

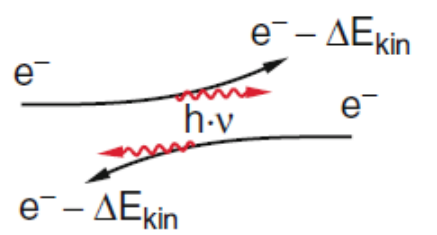
- das Photon kann nur die Zeit  $\Delta t$  existieren
- die Zeit hängt von der Entfernung r zwischen den wechselwirkenden Teilchen ab:

$$\Delta t = r/c$$

Photonenergie muss mit r abnehmen

$$h\nu \leq \frac{\hbar}{\Delta t} = \frac{\hbar c}{r}$$

Coulomb Wechselwirkung ist proportional zur Energie der Austauschphotonen  $E_C \propto 1/r$ 



22

## Inelastische Nukleonenstreuung



- Streuung von Nukleonen aneinander
- bei hohen Energien > 200MeV beobachtet man neue Teilchen  $\pi$  –Mesonen oder Pionen
- Inelastische Streuprozesse

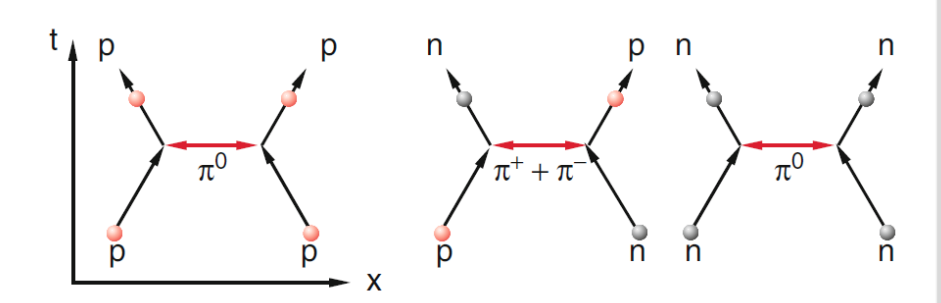
$$p + p \Rightarrow p + p - \Delta E_{kin} + \pi^{0}$$

$$\rightarrow p + n - \Delta E_{kin} + \pi^{+}$$

$$p + n \Rightarrow p + n - \Delta E_{kin} + \pi^{0}$$

$$\rightarrow p + p - \Delta E_{kin} + \pi^{-}$$

$$\rightarrow n + n - \Delta E_{kin} + \pi^{+}$$



 $lacktriangleq \pi$  -Mesonen sind die virtuellen Austauschteilchen der starken Wechselwirkung

## Austauschmodell der starken Kernkraft



Hideki Yukawa, Nobelpreis 1949

- Bindungsenergie der starken WW proportional zur Massenenergie  $E=mc^2$  der Austauschteilchen
- Elektromagnetische WW: Photonen mit Ruhemasse 0 → unendliche Reichweite,  $V_C(r) \propto 1/r$
- Pionen mit Masse  $m_{\pi}$  $\Delta E \Delta t \geq \hbar$  mit  $\Delta E = m_{\pi} c^2, r \leq c \Delta t$

Reichweite 
$$r \le r_0 = \frac{\hbar}{m-c}$$

Ruheenergie des Pions:  $m_{\pi}c^2 = 139 \text{MeV}$  $\rightarrow r_0 = 1.4 \text{fm}$ 

- Nur wenig größer als der Radius des Protons
  - → Kernkraft wirkt nur zwischen direkt benachbarten Nukleonen
- Erklärt konstante Nukleonendichte auch schwerer Kerne



Yukawa Potential  $V(r) = \frac{g}{r}e^{-r/r_0}$ 

 $m_{\pi^+}, m_{\pi^-} > m_{\pi^0}$   $\rightarrow$  n-p Bindung stärker als n-n, p-p Bindung



## Kernreaktionen

### Kernreaktionen



- Inelastische Stöße mit Kernanregung, Kernspaltung, Erzeugung neuer Teilchen
- Projektil a, Kern (X,Y), emittiertes Teilchen b

$$a + X \rightarrow Y + b$$

Inelastische Streuung

$$a(E) + X \rightarrow X^* + a(E - \Delta E); X^* \rightarrow X + \gamma$$

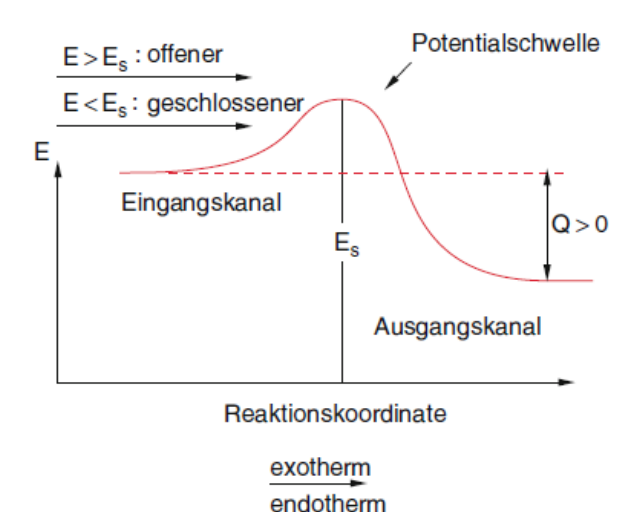
Reaktive Streuung

$$a + X \rightarrow Y + b$$

z.B. 
$$p + \frac{7}{3}Li \rightarrow \frac{7}{4}Be + n$$

Stoßinduzierte Kernspaltung

$$a(E) + X \rightarrow (aX)^* \rightarrow Y_1 + Y_2 + f n$$
  
Z.B.  $n(E) + {}^{238}_{92}U \rightarrow {}^{239}_{92}U^* \rightarrow Y_1 + Y_2 + f n$ 



### Massenbilanz

$$M(a) + M(X) = [M(b) + M(Y)] + Q/c^2$$
, "Wärmetönung Q"

- Q>0: Reaktion exotherm
- Q<0: Reaktion endotherm</p>

## **Erhaltungssätze**



- Energie und Impulserhaltung
- Erhaltung der Nukleonenzahl

$$A_1 + A_2 = A_3 + A_4$$

Erhaltung der elektrischen Ladung

$$Z_1 + Z_2 = Z_3 + Z_4$$

Drehimpuls Erhaltung

$$J(a + X) = I_a + I_X + L_{aX} = J(b + Y) = I_b + I_Y + L_{bY}$$

Erhaltung der Parität (Verhalten bei Koordinatenspiegelung am Ursprung)

$$\begin{split} Y_l^m(\pi-\theta,\phi+\pi) &= (-1)^l \, Y_l^m(\theta,\phi) \\ P_{a+X} &= P_a P_X (-1)^{l_{aX}} = P_{b+Y} = P_b P_Y \, (-1)^{l_{bY}} \, \text{mit} \, P_a, P_X \, \text{,innere Parität"} \\ & \boldsymbol{\rightarrow} \, \text{Spin} \end{split}$$

## Instabile Kerne, Radioaktivität



- Kerne sind instabil wenn sie sich nach einer endlichen Lebensdauer spontan unter Aussendung von Strahlung umwandeln: Radioaktivität
- Zerfallsgesetz

$$\frac{dN}{dt} = -\lambda N = -A(t),$$

$$N(t) = N_0 e^{-\lambda t},$$

$$A(t) = A_0 e^{-\lambda t}, A_0 = \lambda N_0$$

mit Aktivität A(t), [A] = Bq Becquerel [1/s]

 $N(t) = N_0 e^{-\lambda t}$ , Zerfallskonstante  $\lambda = 1/\tau$ 

• Halbwertszeit  $N(t_1) = \frac{N_0}{2}$ 

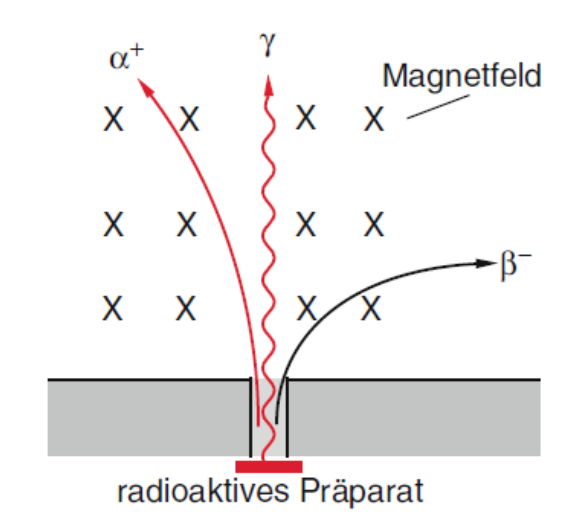
 $t_1 = \tau \ln 2$ 

#### Natürliche Radioaktivität

Alpha Teilchen: He Kerne

Beta Teilchen Elektronen

Gamma Teilchen: Photonen

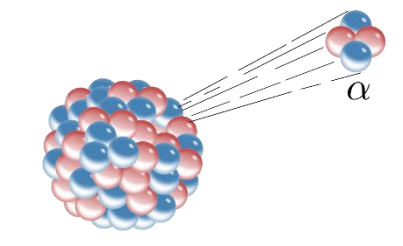


## **Alphazerfall**

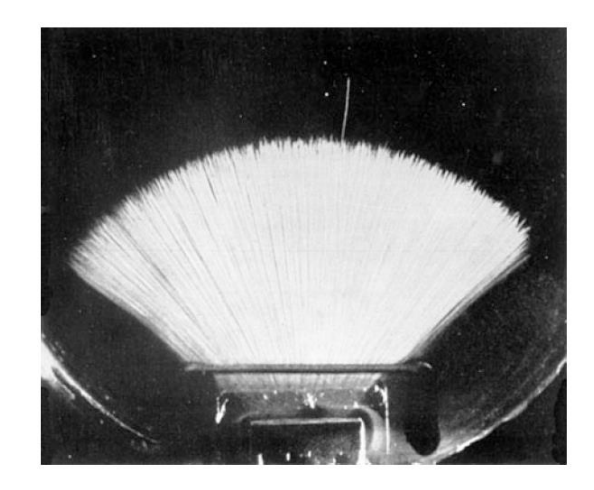


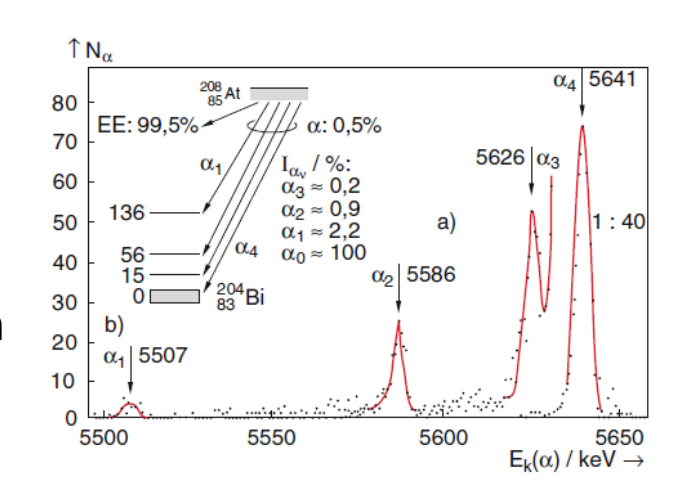
Emission eines He Kerns

$${}_{Z}^{A}X \xrightarrow{\alpha} {}_{Z-2}^{A-4}Y$$



- Nachweis in Nebelkammer
- Meisten Teilchen haben selbe Reichweite / kinetische Energie
- Energiespektrum (z.B. Mit Halbleiterzähler, Szintillationszähler) zeigt diskrete Linien
- Mit  $E_{kin} = E_1 E_2$  zeigen  $\alpha$  -Teilchen Anregungszustände von Mutter oder Tochterkern





## **Alphazerfall**



#### **Gamow Modell**

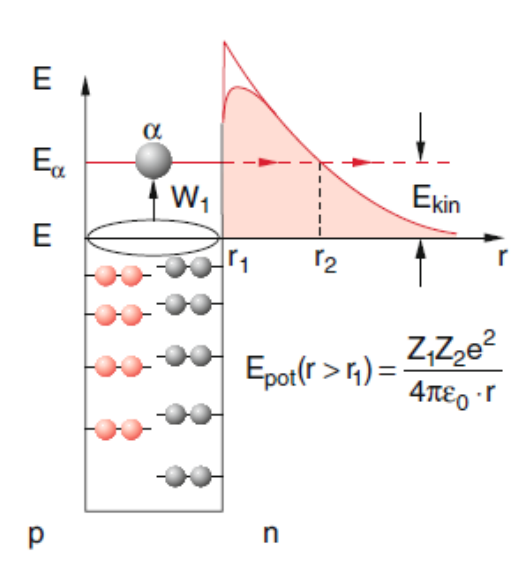
- Kern kann aus gebundenen Nukleonen ein  $\alpha$  Teilchen bilden
- Durch besonders große Bindungsenergie wird kinetische Energie frei
- $\alpha$  Teilchen kann Kern durch Tunneln verlassen
- Tunnelwahrscheinlichkeit für kleine  $\lambda_{dB}$

$$T=T_0e^{-G}$$
,  $G=rac{2\sqrt{2}}{\hbar}\int_{r_1}^{r_2}\sqrt{(E_C-E)}dr$  Gamow Faktor

Zerfallswahrscheinlichkeit

$$W = W_0 W_1 T$$

- $W_0$  Wahrscheinlichkeit, ein  $\alpha$  Teilchen zu bilden
- W<sub>1</sub> Rate mit der Teilchen an Potentialwall stößt
- T Transmissionswahrscheinlichkeit



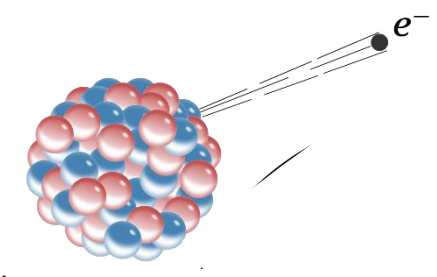
Isotop	$E_{\alpha}/{ m MeV}$	t <sub>1/2</sub>
<sup>212</sup> <sub>84</sub> Po	8,78	$0.3\mu s$
<sup>224</sup> <sub>88</sub> Ra	5,7	3,64 d
<sup>228</sup> <sub>90</sub> Th	5,42	1,91 a
<sup>238</sup> <sub>94</sub> Pu	5,5	$8.8 \cdot 10^{1}$ a
<sup>230</sup> <sub>90</sub> Th	4,68	$7,5 \cdot 10^4 a$
<sup>235</sup> <sub>92</sub> U	4,6	$7,1 \cdot 10^{8} a$

## **Betazerfall**



Emission eines Elektrons / Positrons aus einem Kern

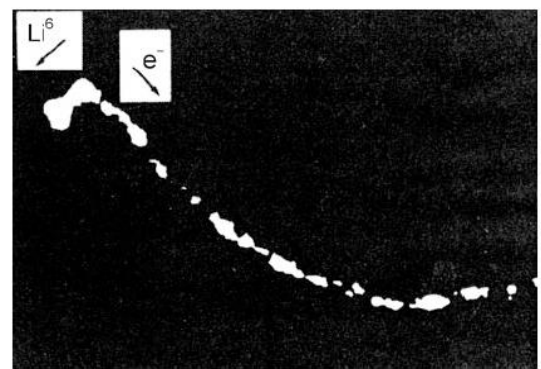
$${}_{Z}^{A}X \xrightarrow{e} {}_{Z+1}^{A}Y$$



dabei wird ein Neutron in ein Proton (umgekehrt für β<sup>+</sup>
 Zerfall) umgewandelt

### **Beispiele**

$$^{225}_{88}$$
Ra  $\xrightarrow{\beta^{-}}$   $^{225}_{89}$ Ac  $^{208}_{81}$ Tl  $\xrightarrow{\beta^{-}}$   $^{208}_{82}$ Pb  $^{15}_{8}$ O  $\xrightarrow{\beta^{+}}$   $^{15}_{7}$ N



- Kontinuierliche Energieverteilung
- Maximale Energie hängt vom jew. Kern ab
- Oft wird Mutterkern und Elektron in gleichen Halbraum emittiert → brauche weiteres Teilchen

## **Betazerfall**



### Neutrinohypothese

- weiteres Teilchen, Neutrino  $\nu$ , wird beim  $\beta$ -Zerfall emittiert
- Neutral, Spin  $\frac{\hbar}{2}$ ,



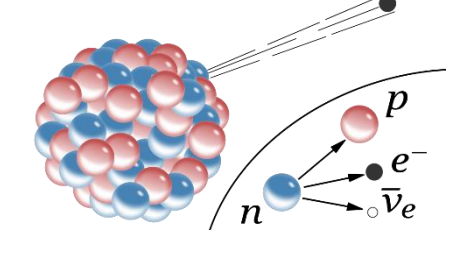
- Antiteilchen: Antineutrino ν̄
- **Experimenteller Nachweis erst 1955 mit**  $\beta$ **-Zerfällen in Kernreaktoren**

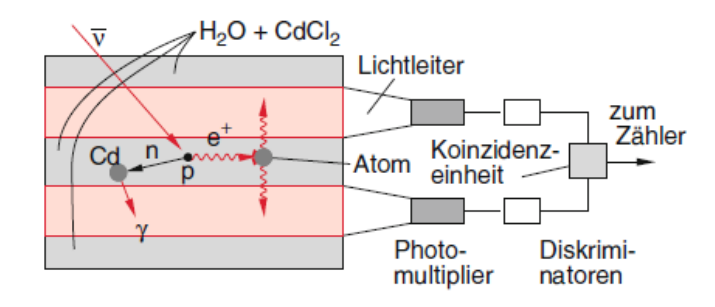
$$\bar{\nu} + p \rightarrow n + e^+$$

- Antineutrino wird von einem Proton eingefangen
- Positron annihiliert bei Stoß mit Elektron in Atomhülle

$$e^+ + e^- \rightarrow \gamma + \gamma$$

 Strahlung kann mit Szintillatoren nachgewiesen werden





## **Betazerfall**



β<sup>-</sup> Zerfall

$${}_{Z}^{A}X \stackrel{\beta^{-}}{\rightarrow} {}_{Z+1}^{A}Y + e^{-} + \bar{\nu}$$

lacksquare  $\beta^+$  Zerfall (Positronen Emission)

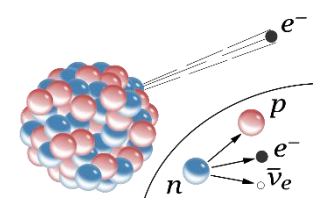
$${}_{Z}^{A}X \xrightarrow{\beta^{+}} {}_{Z-1}^{A}Y + e^{+} + \nu$$

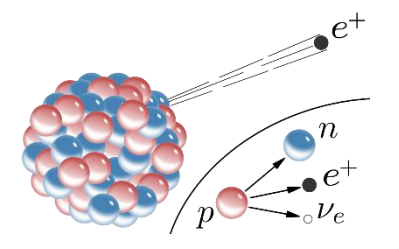
Zerfall freier Neutronen

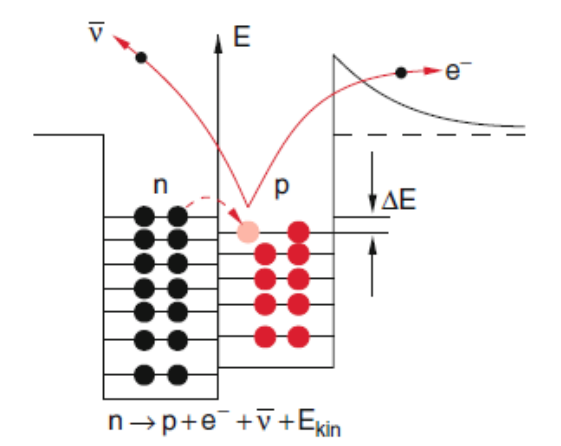
$$n \rightarrow p + e + \bar{\nu}$$

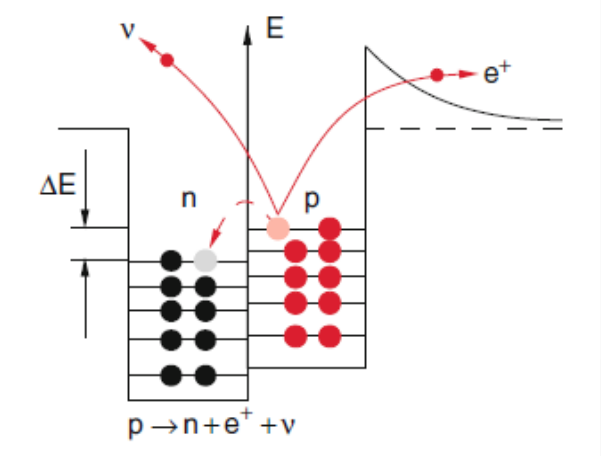
- Exotherme Reaktion wegen größerer Neutronenmasse → Neutron zerfällt spontan mit mittlerer Lebensdauer von 887 s
- freies Proton ist stabil
- Im Kern ist Neutronenzerfall nur möglich wenn die Energie des Tochterkerns niedriger ist als die des Mutterkerns
- Zerfall gebundener Protonen

$$p \rightarrow n + e^+ + \nu$$









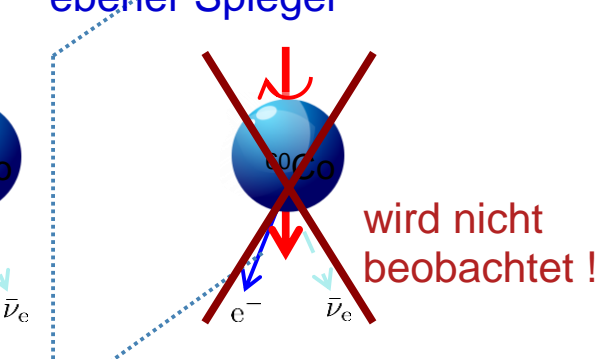
### Schwache Kernkraft



 $\beta$  – Zerfall wird durch die **Schwache Kernkraft** verursacht

- bewirkt Energie- und Impulsaustausch beim  $\beta^-$  Zerfall
- Drei Austauschteilchen:  $W^{\pm}$ ,  $Z^{0}$
- Sehr schwer:  $M_W = 80 \frac{GeV}{c^2}$   $M_Z = 91 \frac{GeV}{c^2}$ 
  - $\rightarrow$  extrem kurze Reichweite  $\sim 10^{-18} m$
- Erstmals 1983 in Proton-Antiproton Kollisionen am CERN beobachtet
- Schwache Kraft verletzt die Spiegelsymmetrie, Paritätsverletzung
- Erstmals im Zerfall  $^{60}\text{Co} \rightarrow ^{60}\text{N}i + e^- + \bar{\nu}_e + 2\gamma$  beobachtet Chien-Shiung Wu (1957) ebener Spiegel

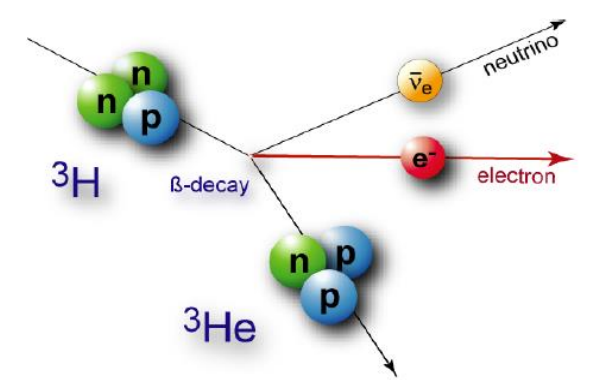


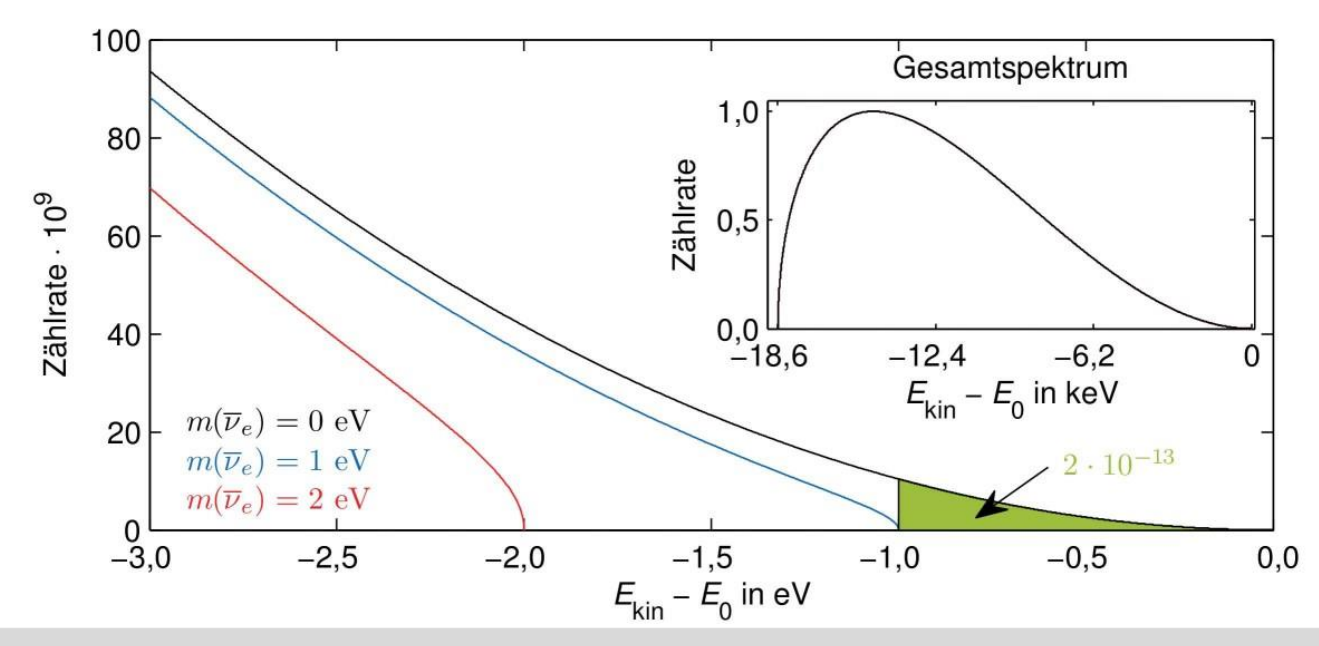


## **KATRIN**



- Bestimmung der Neutrino Masse aus Tritium Zerfall
- 18.6keV Zerfallsenergie= Massendifferenz Tritium –
   3He teilt sich auf Stoßpartner auf.
- Bei verschwindender Neutrinomasse kann das Elektron die volle Zerfallsenergie tragen, bei endlicher Masse nur weniger





## **KATRIN**



- Hauptspektrometer Ø 10m, Länge 24m, Gewicht 200t
- Zu groß für Autobahntransport→ 8600km Transport auf Seeweg
- Seit 2006 am KIT



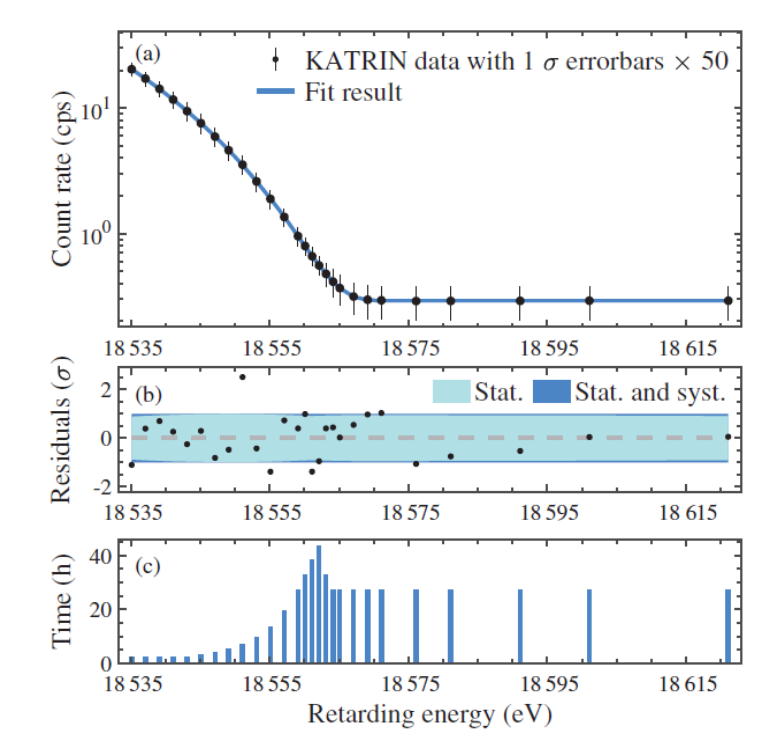


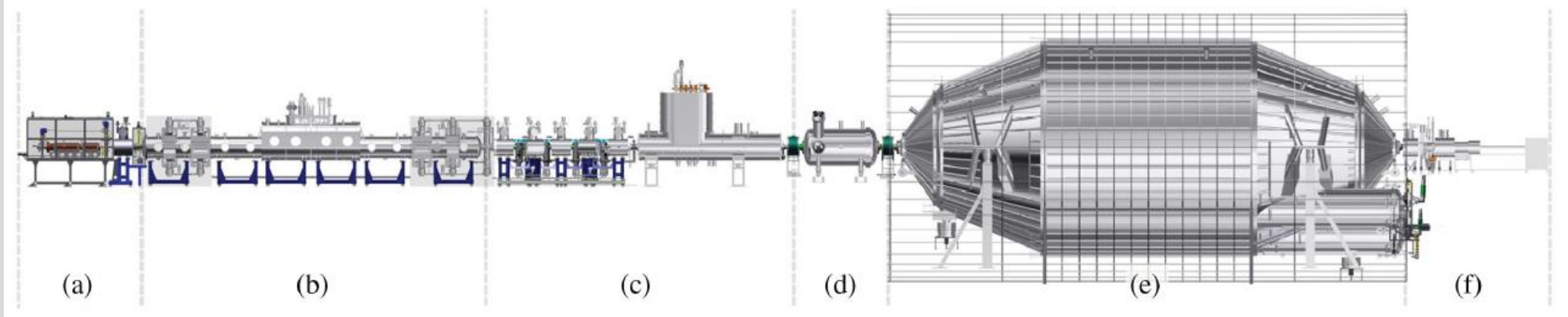


#### **KATRIN**



- Neue Ergebnisse in 2022
- Neutrinomasse < 0.9 eV</p>
- Messung mit  $5 \times 10^{-5}$  Genauigkeit
- erreicht durch elektrostatischen Filter lässt nur Elektronen mit Energie nahe 18.6keV durch mit energieabhängiger räumlicher Verteilung
- Ziel: 0.2eV Auflösung





## **Gammazerfall**



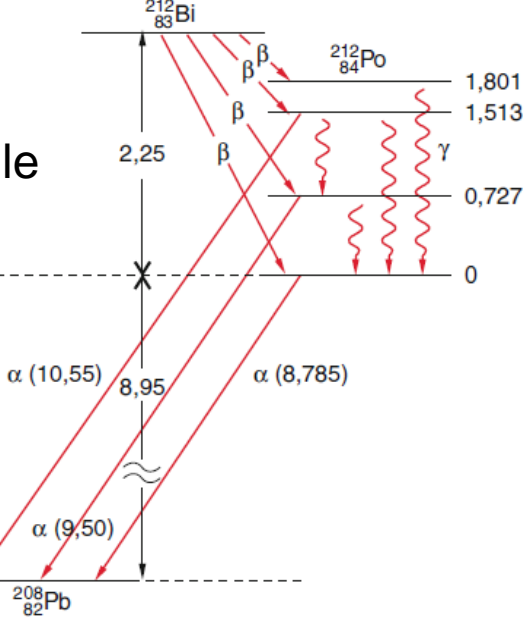
Emission eines hochenergetischen Photons ( $\gamma$  – Quant) von einem angeregten Kern

$${}_{Z}^{A}X^{*} \xrightarrow{\gamma} {}_{Z}^{A}X$$

- Emission eines  $\gamma$  Quants bei Kernzerfällen: Korreliert mit  $\beta$  oder  $\alpha$  Strahlung
- Annihilationsstrahlung

$$e^- + e^+ \rightarrow \gamma + \gamma$$

- Analog zu diskreten Übergängen in der Elektronenhülle
- Hohe Energie  $(10^4 10^7 \text{ eV})$



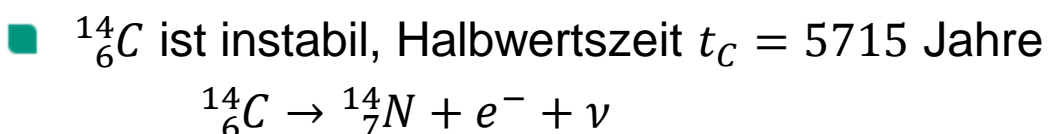
# Neutronenemission: Anwendung Radiokarbondatierung

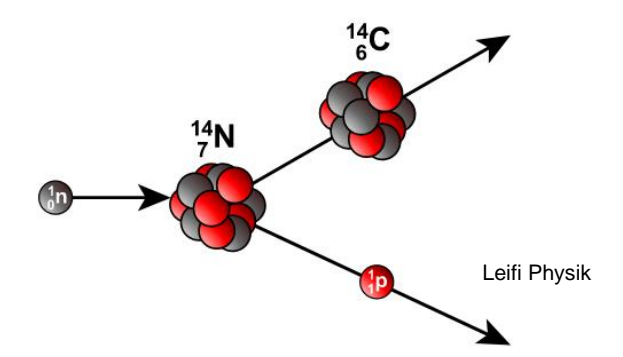


Neutronen aus der kosmischen Höhenstrahlung wandeln mit konstanter Rate

Stickstoff in Kohlenstoff um: <sup>14</sup>N +n → <sup>14</sup>C + p

$$\frac{N\binom{14}{6}C}{N\binom{12}{6}C} = 10^{-12}$$





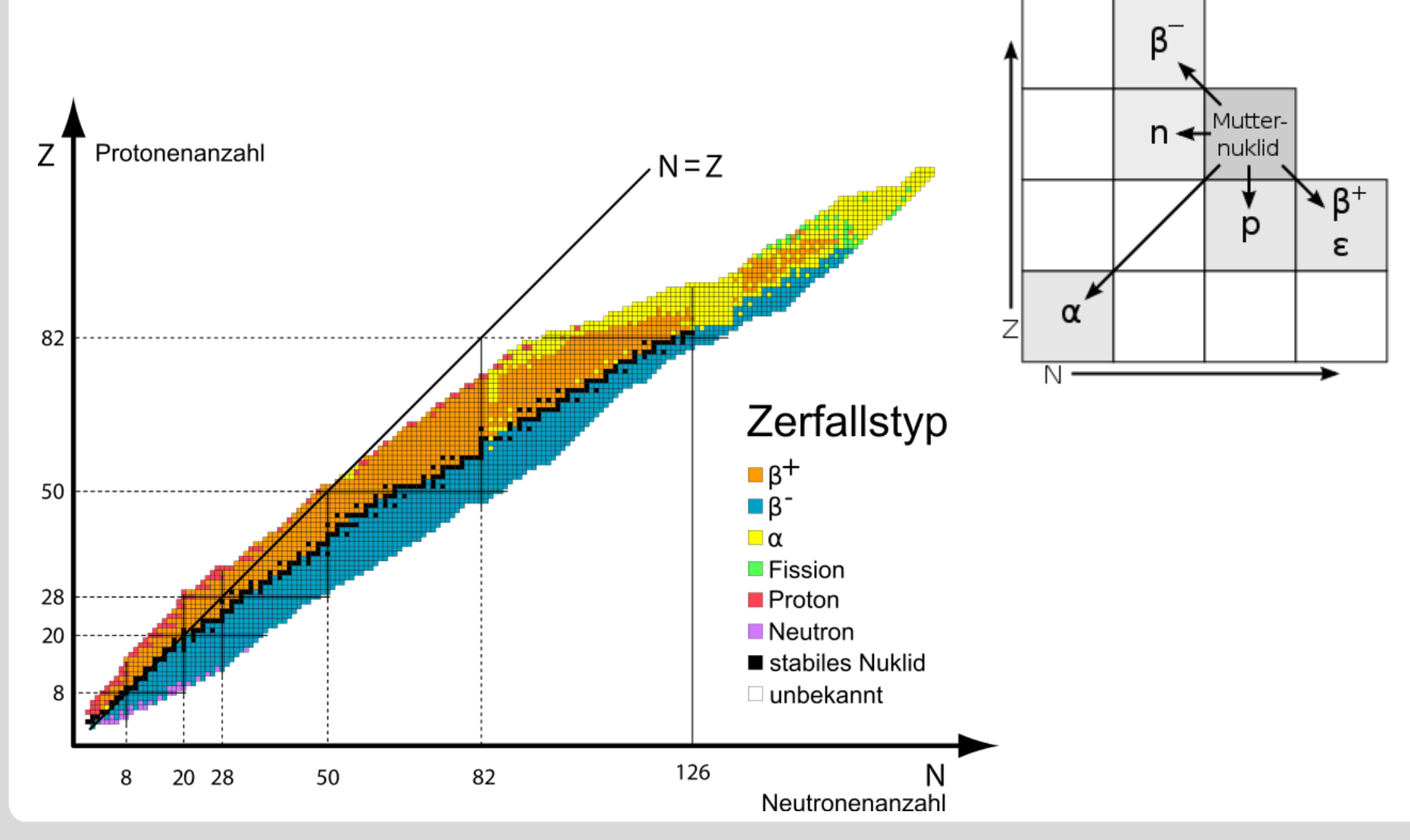
- Lebewesen nehmen Kohlenstoff auf, bauen ihn in organisches Material ein.
- Wenn der Stoffwechsel endet, findet kein Austausch mehr statt
- 14C zerfällt, Verhältnis ändert sich mit der Zeit

$$\frac{N(^{14}C)}{N(^{12}C)}(t) = \left(\frac{N(^{14}C)}{N(^{12}C)}\right)_{Luft} \exp(-\frac{t}{\tau_c}) \qquad \text{mit } \tau_c = t_C/\ln 2$$

Bestimmung des <sup>14</sup>C Anteils kann das Alter organischer Proben bestimmt werden

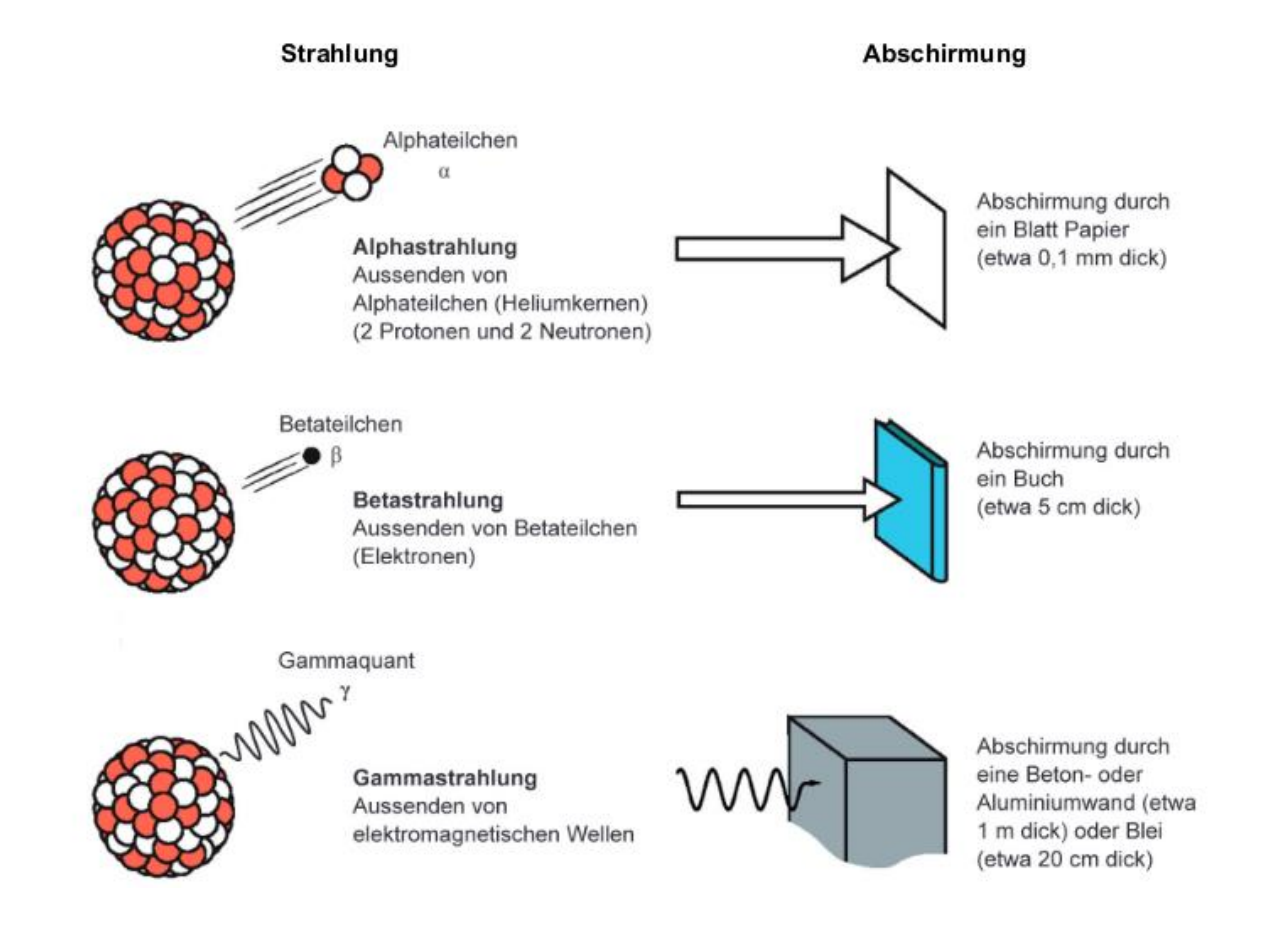
# **Nuklidkarte**





# **Radioaktive Strahlung**

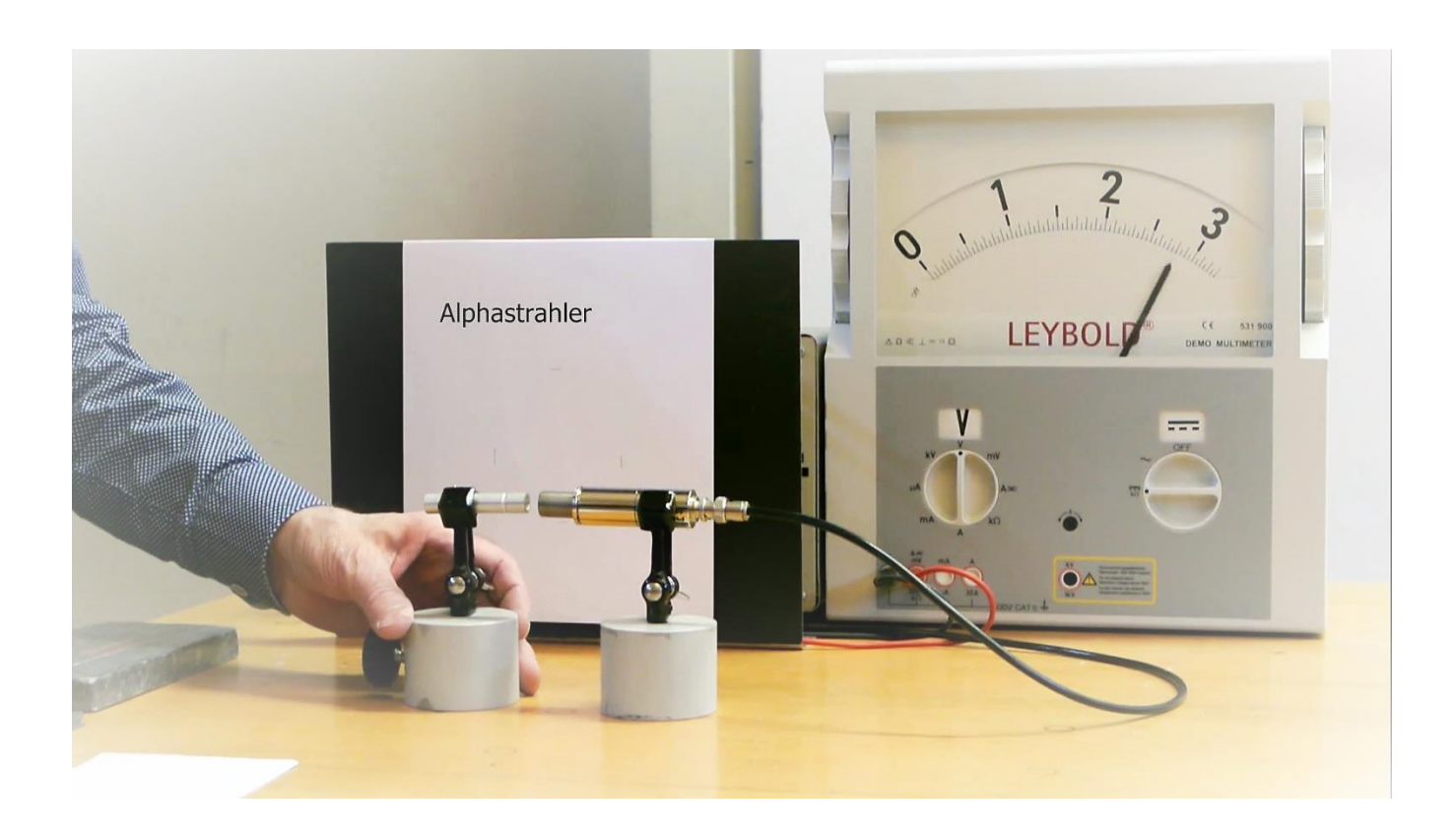




# **Radioaktive Strahlung**



#### Modernes Experiment mit Schul- bzw. Praktikums-Geräten:



https://www.experimente.physik.uni-freiburg.de/H Atom und Kernphysik/radioaktivitaet/reichweiteabsorptionstrahlung

# Radioaktivität – Messgrößen



#### Grundlegende Maßeinheit: deponierte Energie

- Energiedosis:  $D = \frac{E}{m}$   $[D] = 1\frac{J}{kg} = 1 \, Gy$  "Gray"
- Dosisleistung dD/dt "Gray / Sekunde"

#### Bewertungsfaktoren für Strahlungsschäden

- Schädigung von Zellen und Organen
- Schäden an DNA, Mutationen

$$H = w \cdot D$$
,  $[H] = 1Sv = 1\frac{J}{ka}$  "Sievert"

w berücksichtigt Strahlenart, Energie, zeitliche Verteilung der Dosis

#### **Effektive Dosis**

$$H_{eff} = \sum_{T} w_T H_T$$

- $\blacksquare$   $H_T$  Äquivalentdosis in Gewebeart T
- w<sub>T</sub> Bewertungsfaktor für Gewebeart T

# Biologische Wirkung von Strahlung



#### Strahlungswichtungsfaktoren nach ICRP 60

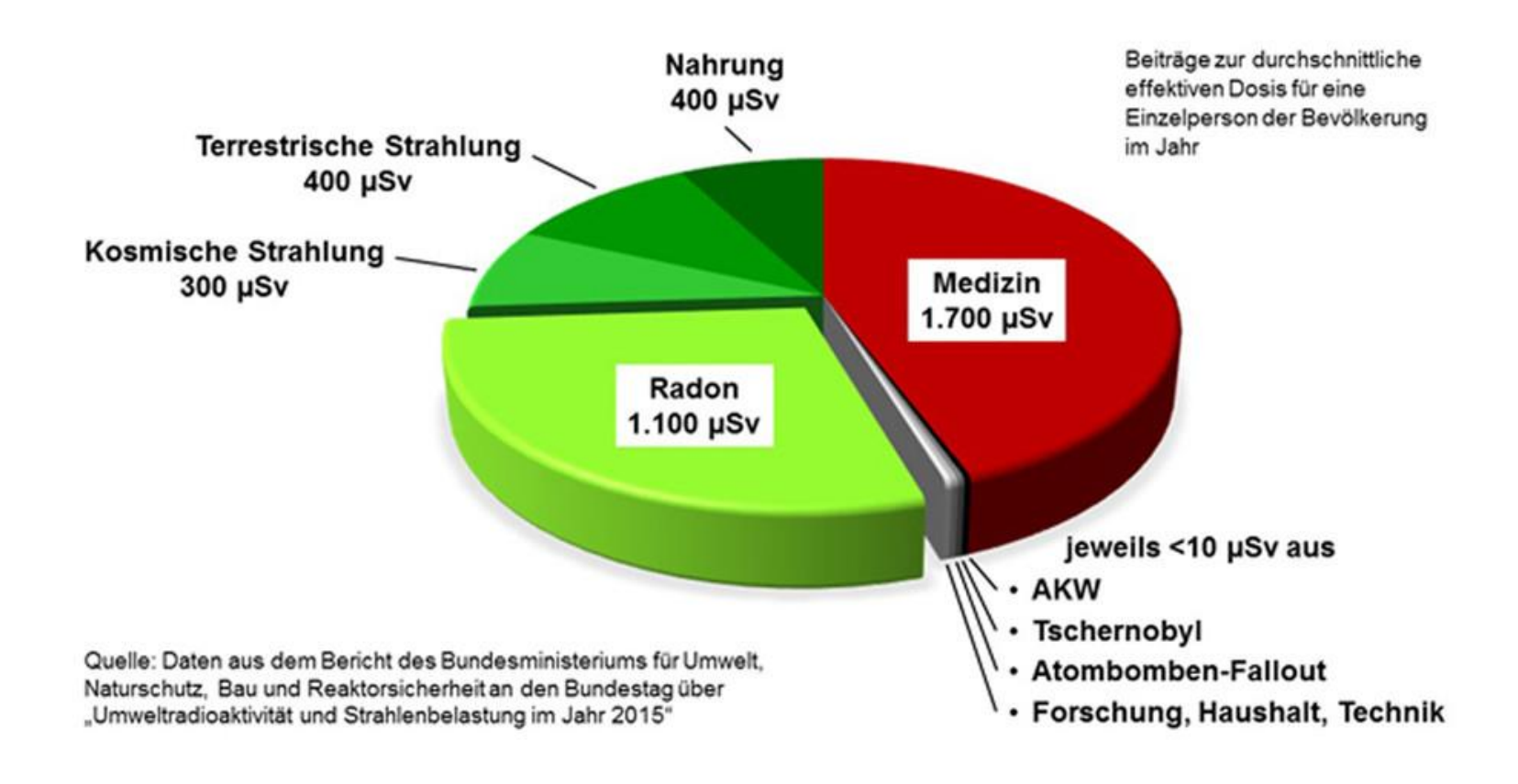
Art der Strahlung	Energie- bereich	Strahlungs-wichtungs-faktor $w_{ m R}$
Photonen (typ. Gammastrahlung, Röntgenstrahlung <sup>[1]</sup> )	alle Energien	1
Elektronen und Myonen	alle Energien	1
Neutronen	< 10 keV	5
	10 – 100 keV	10
	0,1 - 2 MeV	20
	2 – 20 MeV	10
	> 20 MeV	5
Protonen, außer Rückstoßprotonen	> 2 MeV	5
Alphateilchen, Spaltfragmente, schwere Kerne, Rückstoßkerne	alle Energien	20

ICRP = Internationalen Strahlenschutzkommission

# **Radioaktive Strahlung**



#### Durchschnittliche Strahlenexposition des Menschen in Deutschland



## Teilchendetektoren - Ionisationskammer



- Teilchen erzeugt durch Stöße Ionen und freie Elektronen
- Diese können durch Beschleunigungsspannung weitere Ionen-Elektronen Paare erzeugen
- Ladungsfluss erzeugt Spannungspuls

$$U(t) = Q(t)/C$$

## Ionisationskammer ( $U_1 < U < U_2$ )

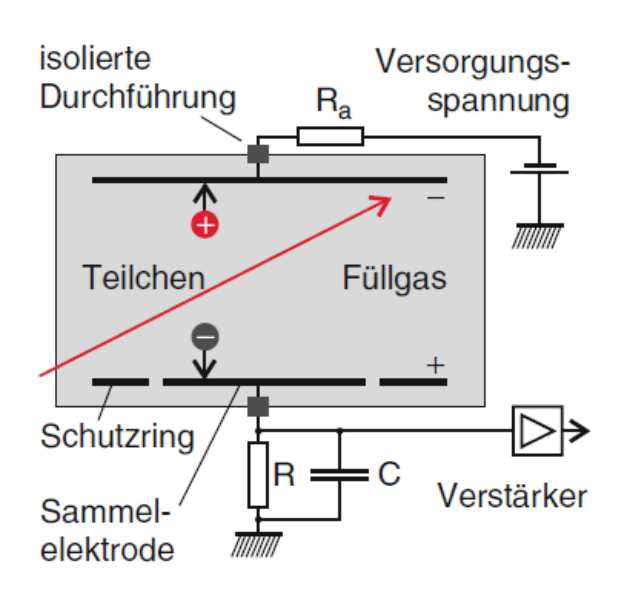
 Alle Elektronen & Ionen werden gesammelt, Sättigung

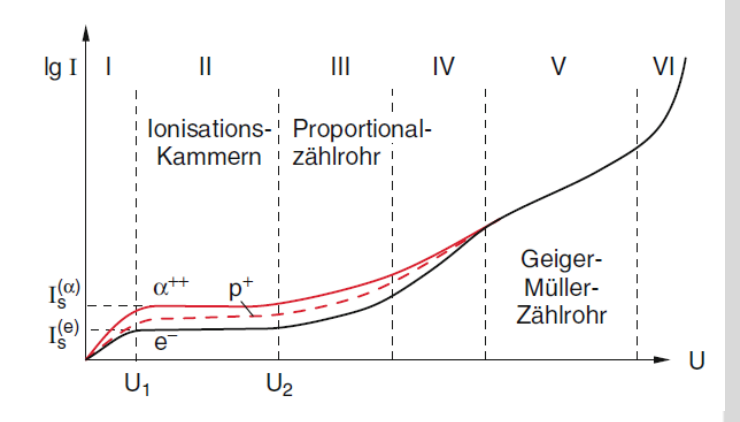
#### Proportional Zählrohr

- Sekundärionisation
- Ausgangsstrom proportional zu Ionisationsrate,
   Verstärkungsfaktor bis zu 10<sup>4</sup>

## Geiger-Müller Zählrohr

 Verstärkung so groß, das jedes Teilchen gleich großes Signal liefert





## Teilchendetektoren - Szintillationsdetektor



- Teilchen erzeugen Lichtblitze
- Nachweis durch Photomultiplier

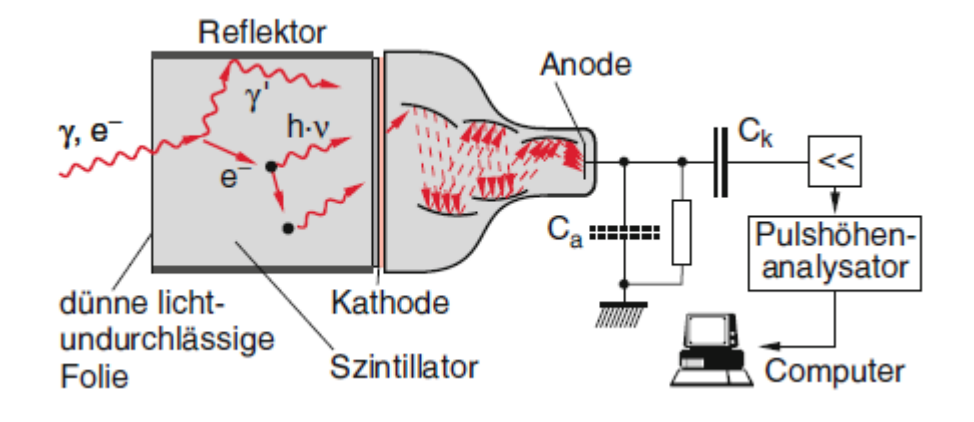
#### Materialien

- anorganische Kristalle: Natriumiodid:Thallium (Nal(Tl), Csl(Tl), ZnS(Ag))
- Organische Materialien: Polystyren, Anthrazen, p-Terphenyl
- Teilchen mit Energie  $E_{kin}$  erzeugt Photonenzahl

$$N_{ph} = \delta E_{kin}/h\nu$$
 mit  $\delta < 1$  Quantenausbeute

#### ermöglicht Detektion

- schwerer Teilchen
- Elektronen
- Gamma- Quanten(→ Photoeffekt, Compton Effekt)



## Teilchendetektoren - Halbleiterzähler



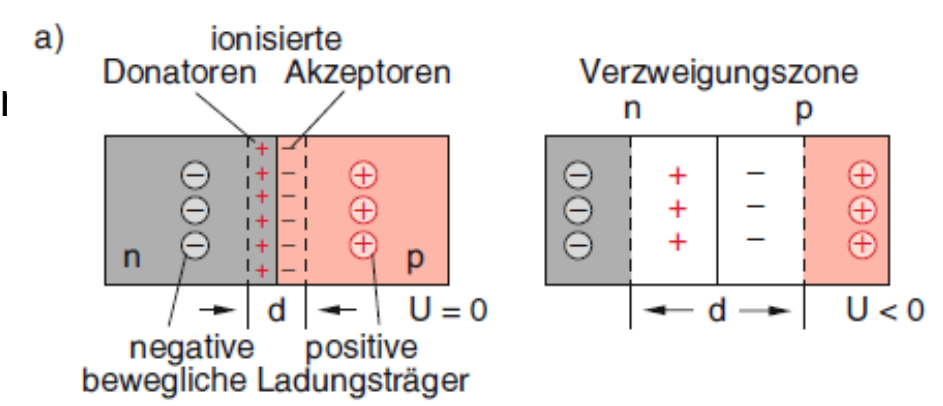
- p-n-Halbleiterdiode in Sperrichtung
- Teilchen erzeugt Elektron-Loch Paare
- Analog zu lonisationskammer

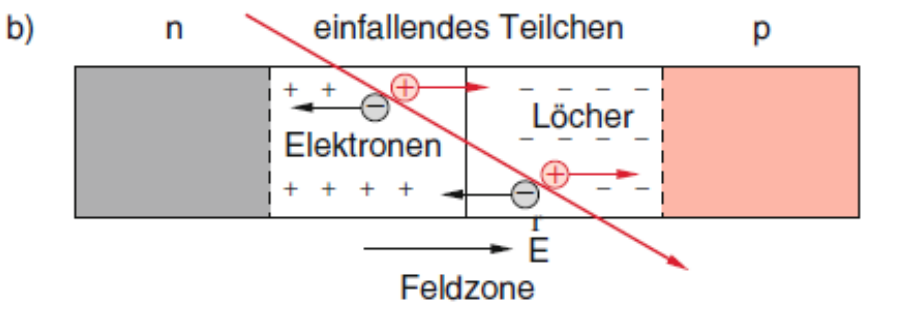
#### Vorteile

- hohe Dichte → kleineres Volumen ı
- geringe Energie zur Erzeugung eines e-h- Paares
- schneller wg. kürzerem Weg

#### Materialien

 Germanium Kristalle dotiert mit Phosphor (n) und Bor (p)





# Teilchendetektoren - Spurendetektoren

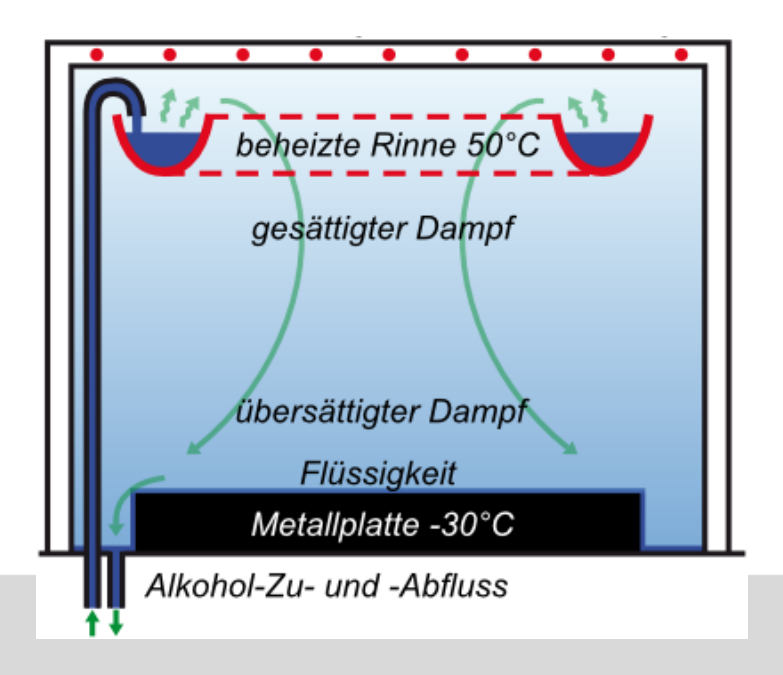


#### Nebelkammer

- Gebildete Ionen erzeugen Wassertröpfchen
- Beobachtung durch Lichtstreuung
- Ablenkung In äußerem Magnetfeld liefert Impuls

$$\frac{mv^2}{r} = q \ v \ B \ \rightarrow mv = r \ q \ B$$

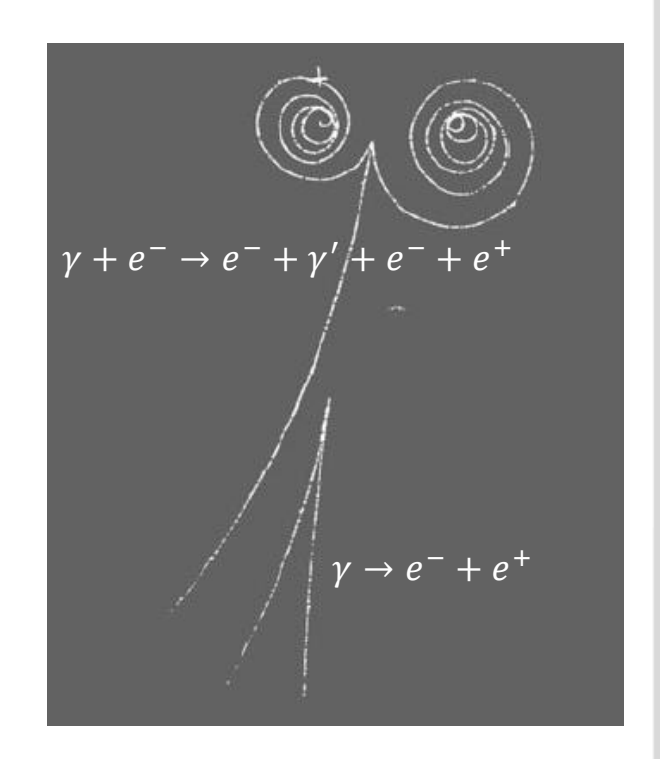
 Tröpfchendichte ermöglicht Bestimmung von Art und Energie des Teilchens



#### Nachweis von

- $\alpha, p, \beta, \mu$
- indirekt: γ

Gamma-Quant beschleunigt Elektron-Positron Paar



# Kernspaltung



**Spontane Spaltung**: Deformation in ellipsoide Form, erfordert potentielle Energie

- Oberflächenenergie  $\Delta E_S$  nimmt zu, Coulomb Abstoßung  $\Delta E_C$  nimmt ab; spontane Spaltung wenn  $\Delta E_C \geq \Delta E_S$
- Damit findet man: Kerne mit  $\frac{Z^2}{A} \ge 51$  instabil

#### **Stoßinduzierte Spaltung**

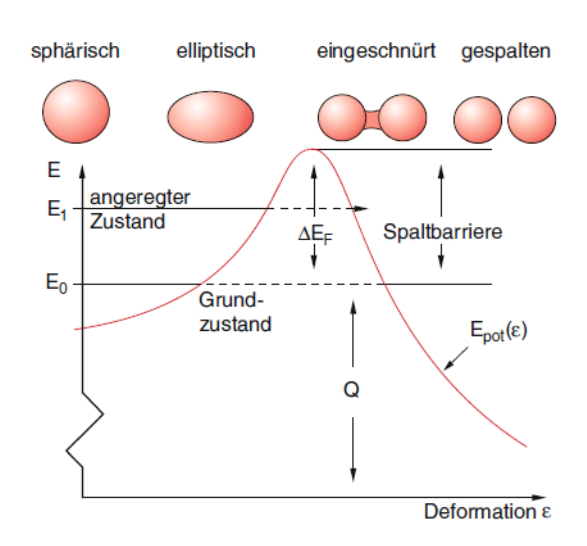
■ Bsp leichter Kern: Protonenbeschuss  $E_{kin} \ge \frac{1}{2} MeV$ 

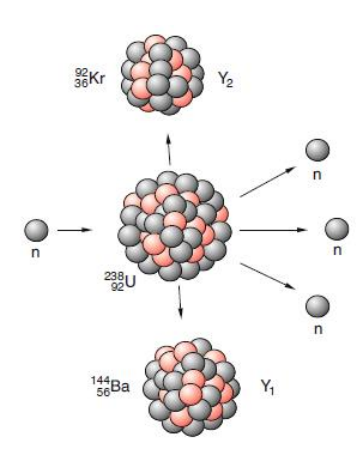
$$p + {}^{7}_{3}Li \rightarrow {}^{8}_{4}Be^* \rightarrow \alpha + \alpha + Q$$

Bsp schwerer Kern: Uranspaltung (Hahn, Straßmann, Meitner)

$$n + {}^{238}_{92}U \rightarrow {}^{239}_{92}U^* \rightarrow Y_1^* + Y_2^* + f n$$

ab Neutronenenergie  $E_{kin} \geq 1 MeV$ 



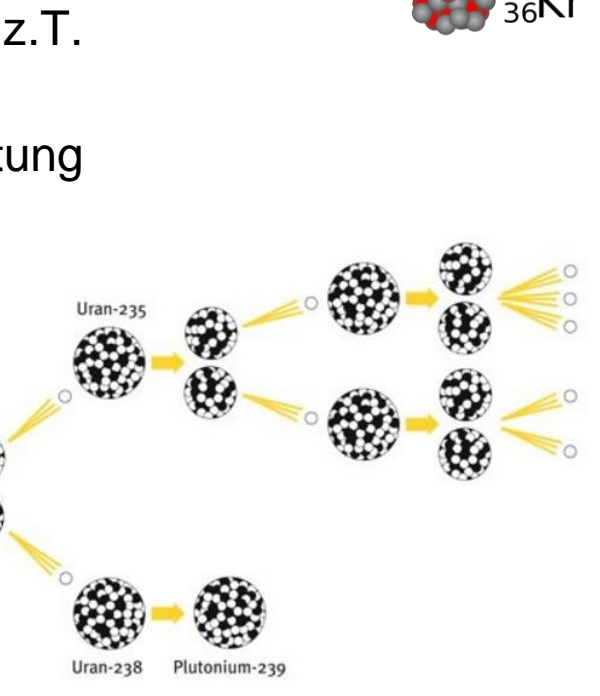


# Kernspaltung



- 235 92 U spaltet effektiver bei niedrigeren Energien (meV!)
- Spaltprodukte sind positiv geladen, Abstoßung führt zu Beschleunigung – enthält ca. 80% der freiwerdenden Energie
- Verteilung an Elementen der Spaltprodukte
- Diese haben Neutronenüberschuss → zerfallen über z.T. lange Zerfallsketten, emittieren weitere Neutronen
- **Kettenreaktion**: Prompte Neutronen aus erster Spaltung können weitere  ${}^{235}_{92}U$  Kerne spalten
- Brauche dazu geringere Energie
- → Moderator mit Masse ~ Neutronenmasse: Wasser
- Freiwerdende Energie ca. 200MeV
- Vergleiche mit Verbrennung eines
   C-Atoms zu CO<sub>2</sub>: 13.5eV

Spaltung von 1kg Uran ~ Verbrennung von 750t Kohle, mit 2700t CO<sub>2</sub> Emission



## Kernreaktor



Tipler, Physik

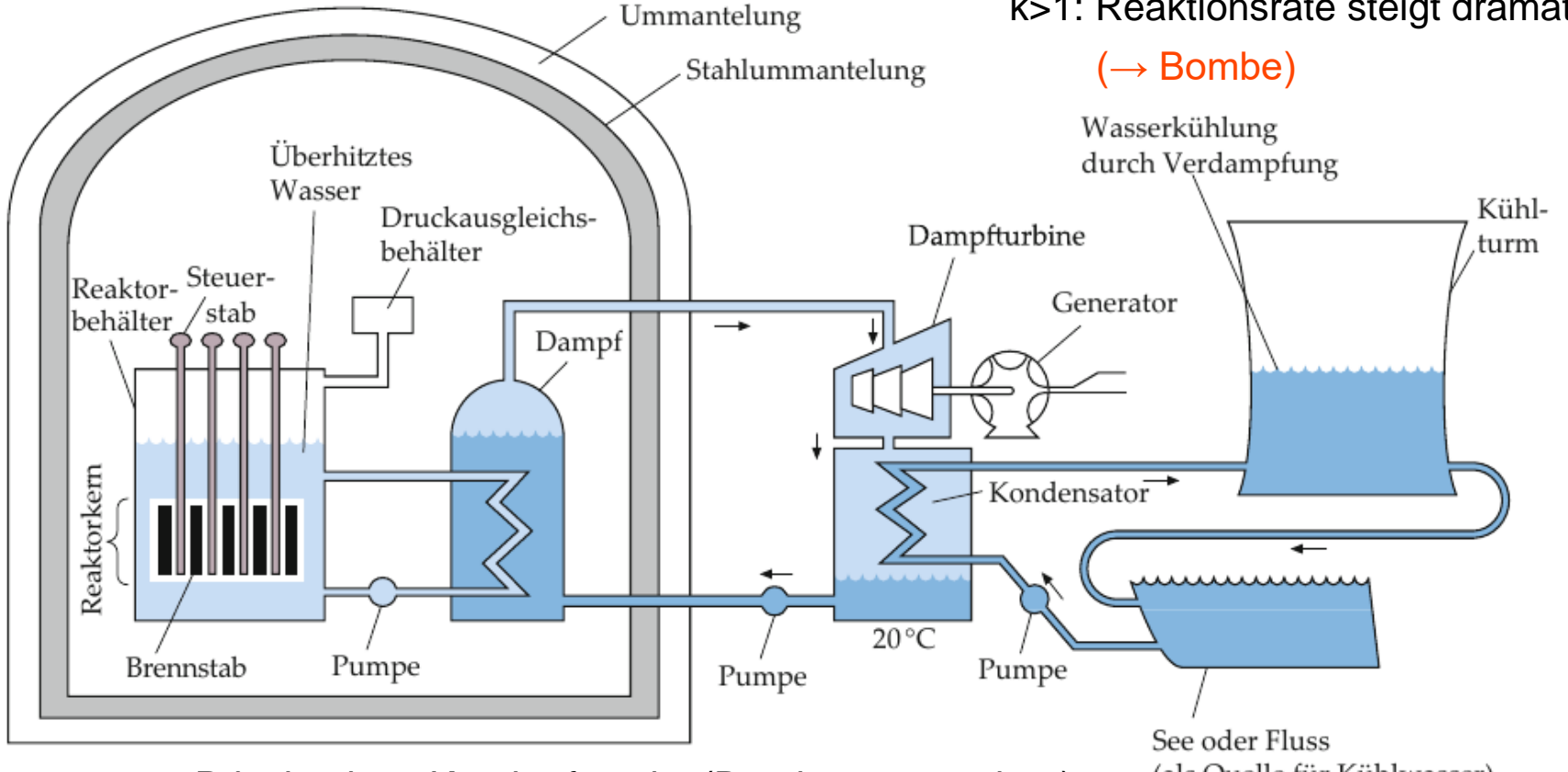
Vermehrungsfaktor k: Zahl der Neutronen / Spaltung

Maximum bei  ${}^{235}$ U: k=2.5

k<1: Reaktion kommt zu Erliegen

k=1: Reaktion ist selbsterhaltend

k>1: Reaktionsrate steigt dramatisch

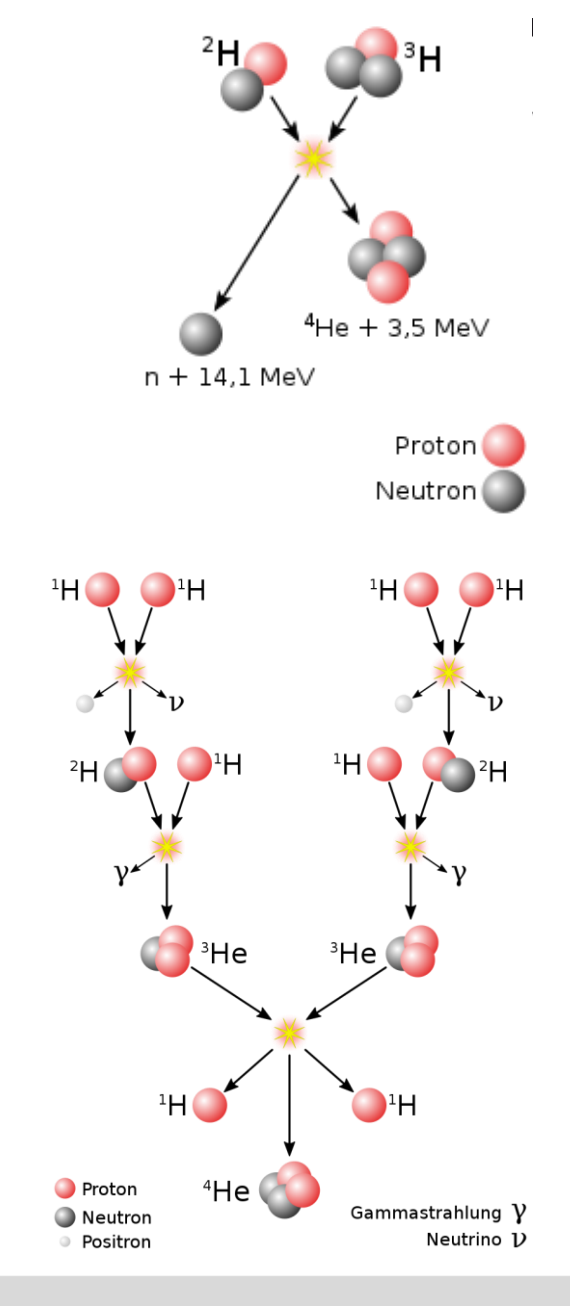


Prinzip eines Kernkraftwerks (Druckwasserreaktor)

(als Quelle für Kühlwasser)

## Kernfusion

- Zusammenstoßende Kerne können in schwereren Kern verschmelzen
- Kinetische Energie muss Coulomb Barriere überwinden  $E_{kin} > Z_1 Z_2 e^2 / (4\pi \epsilon_0 (a_1 + a_2))$ z.B.  ${}^3_1 H + {}^2_1 H \rightarrow {}^4_2 H e + n + 17,6 MeV$
- erfordert  $E_{kin} > 0.5 MeV$
- Hauptsächlich für leichte Kerne wg. niedriger Coulomb Barriere
- Energiefreisetzung bis zu A<56</p>
- Fusion im Sterninneren führt zur Synthese der Elemente bis Eisen
- Energiegewinn pro Masse vergleichbar oder größer als bei Kernspaltung – 1kg D-T Gemisch = 100GWh oder 12000t Kohle
- → Motivation für Fusionsreaktoren
- Schwierigkeit: Energiezufuhr, Einschluss



## **Fusionsreaktoren**



#### **Deuterium und Tritium** als Reaktionspartner

$$d + t \rightarrow {}^{4}He + n \text{ und } d + d \rightarrow {}^{3}He + n$$

#### Dauerhaften Fusion mit Energiegewinn:

- hohe Teilchendichte n (>10<sup>20</sup>/m<sup>3</sup>)
- lange "Einschlusszeiten"  $\tau_{E}$  (>1000s)
- hohe kinetischen Energien ( $10keV = 10^8K$ )

Aufheizen durch Energieanteil  $\epsilon_{\alpha}$  der  $\alpha$ -Teilchen

#### Lawson-Kriterium:

$$n \cdot \tau_E \cdot T \ge \frac{12k_B T^2}{\langle \sigma \cdot v \rangle \epsilon_\alpha}$$

#### Aktuelle Fortschritte (Ende 2022)

- 400s Einschluss bei 108K (Heifei, China)
- Energiegewinn durch Trägheitseinschluss (National Ignition Facility, USA)

#### ITER (Südfrankreich)



## Technische Realisierung

- magnetischer Einschluss
- Trägheitseinschluss (Laser)